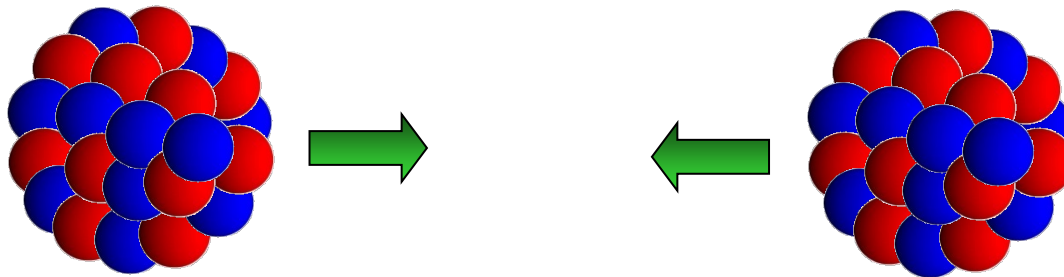


原子核反応の量子多体ダイナミクス

萩野浩一

京都大学大学院理学研究科



核子多体系

1. 原子核反応の物理: 概観
2. 軽い核の融合反応とFeshbach 共鳴
3. 中重核の核融合反応と多体系のトンネル現象
3. 超重元素合成反応と量子開放系の物理
4. 微視的核反応理論の可能性
5. まとめ

はじめに: 低エネルギー原子核物理学のめざすもの

□ 核子多体系としての原子核の振る舞い

← 核子の自由度から理解する

➤ 静的な振る舞い: 原子核構造論

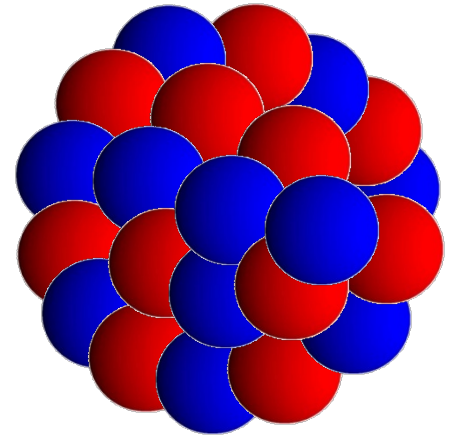
- ✓ 基底状態の性質
(質量、大きさ、形など)
- ✓ 励起状態の性質

➤ ダイナミクス: 原子核反応論

原子核は複合粒子

- ✓ 豊富な反応様式

- 弾性散乱
- 非弾性散乱
- 核子移行反応
- 核融合反応



はじめに: 低エネルギー原子核物理学のめざすもの

□ 核子多体系としての原子核の振る舞い

← 核子の自由度から理解する

➤ 静的な振る舞い: 原子核構造論

✓ 基底状態の性質
(質量、大きさ、**形**など)

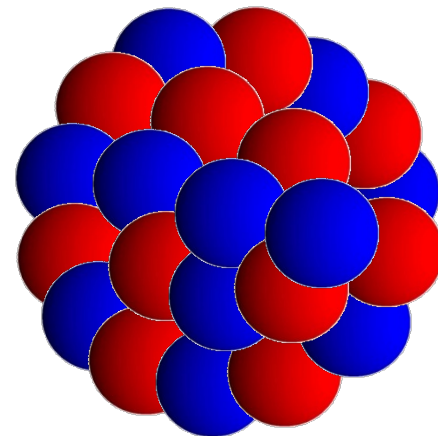
✓ **励起**状態の性質

➤ ダイナミクス: 原子核反応論

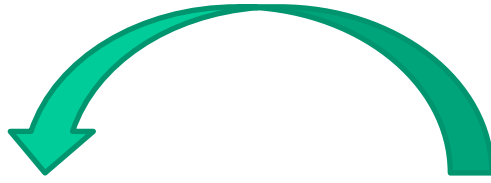
原子核は複合粒子

- ✓ 豊富な反応様式
- ✓ 核構造と核反応の織り成す様々なインタープレイ

- 弾性散乱
- 非弾性散乱
- 核子移行反応
- 核融合反応

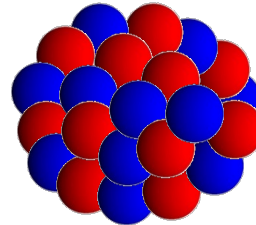
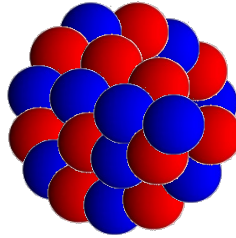
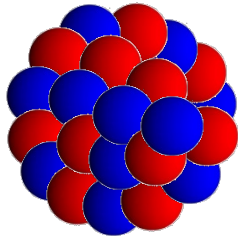
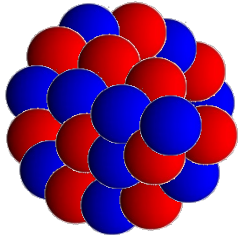


量子多体系のダイナミクス(原子核反応)

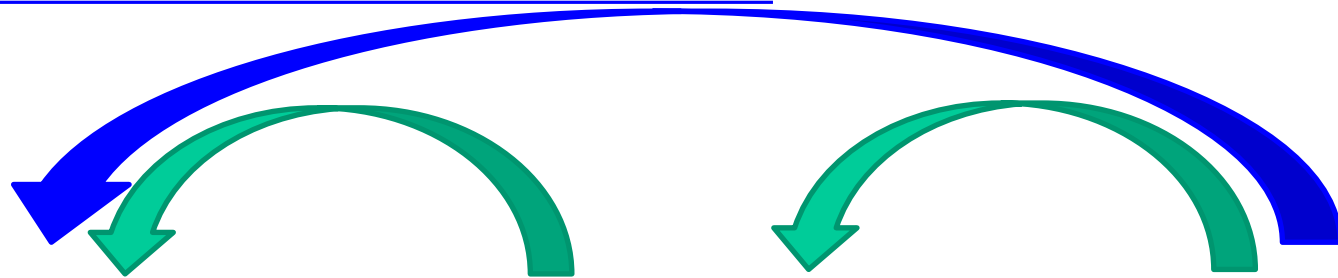


弾性散乱

非弾性散乱



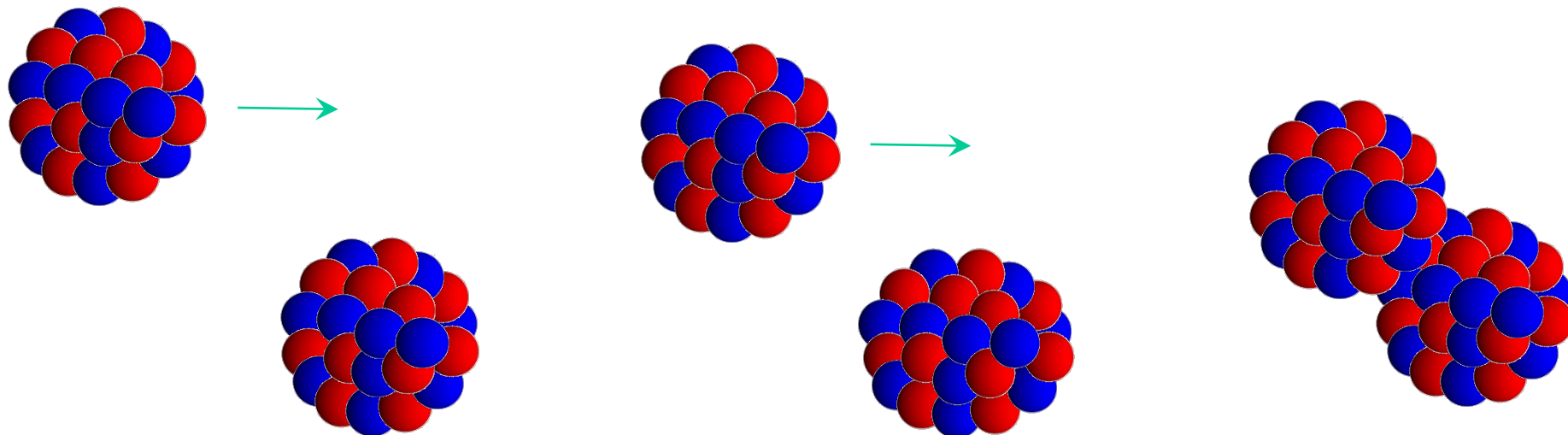
量子多体系のダイナミクス(原子核反応)



弾性散乱

非弾性散乱

核融合

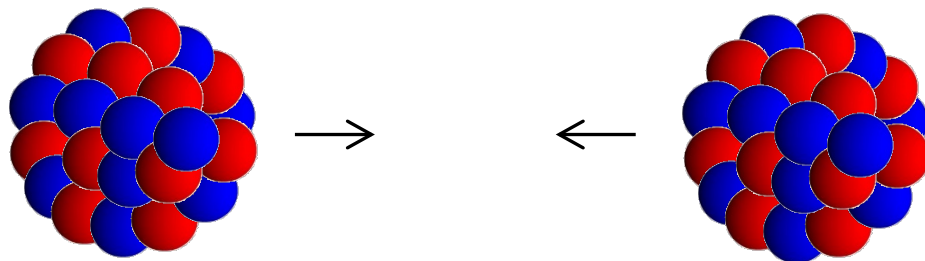


様々な反応プロセスを同時に
記述する量子反応理論



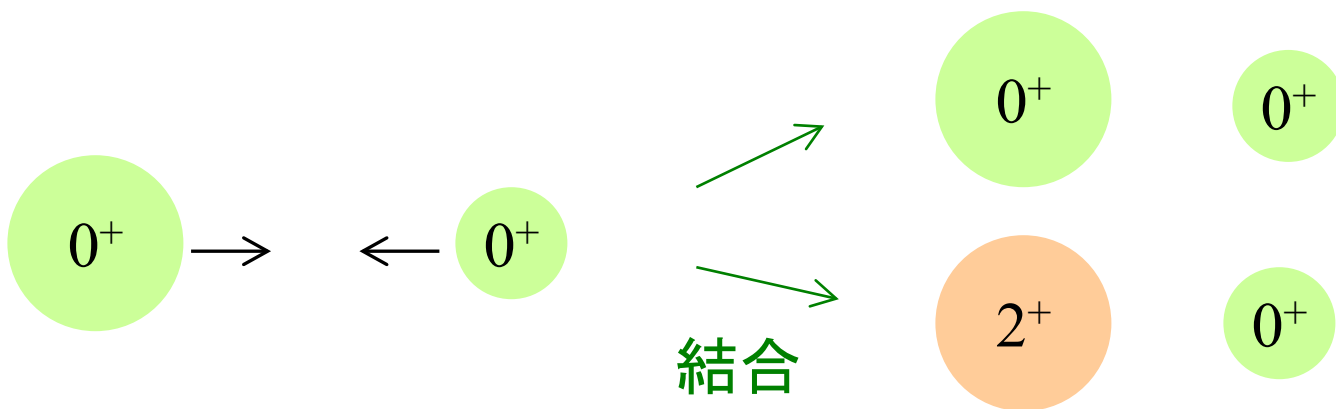
結合チャンネル法 : 内部励起を考慮した量子散乱理論

多体問題

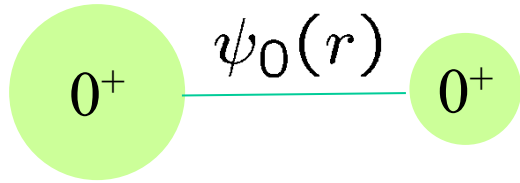


低エネルギー領域では未だに超難問題
cf. 多粒子トンネルの記述

➡ 2体問題 + 原子核の励起 (結合チャンネル・アプローチ)

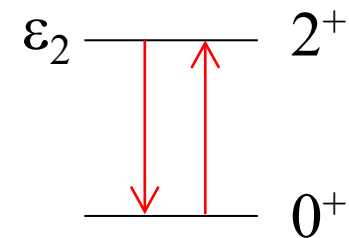
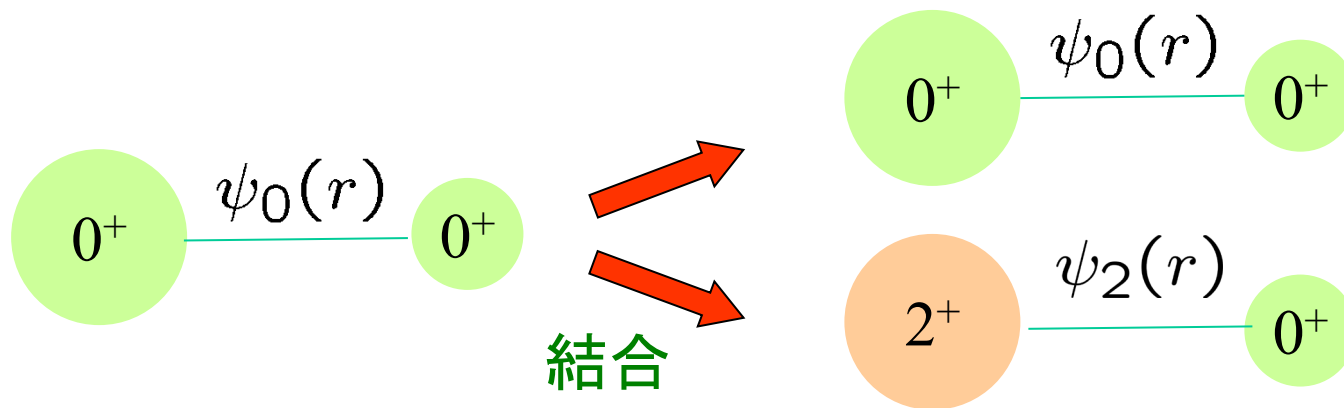


結合チャンネル法 : 内部励起を考慮した量子散乱理論



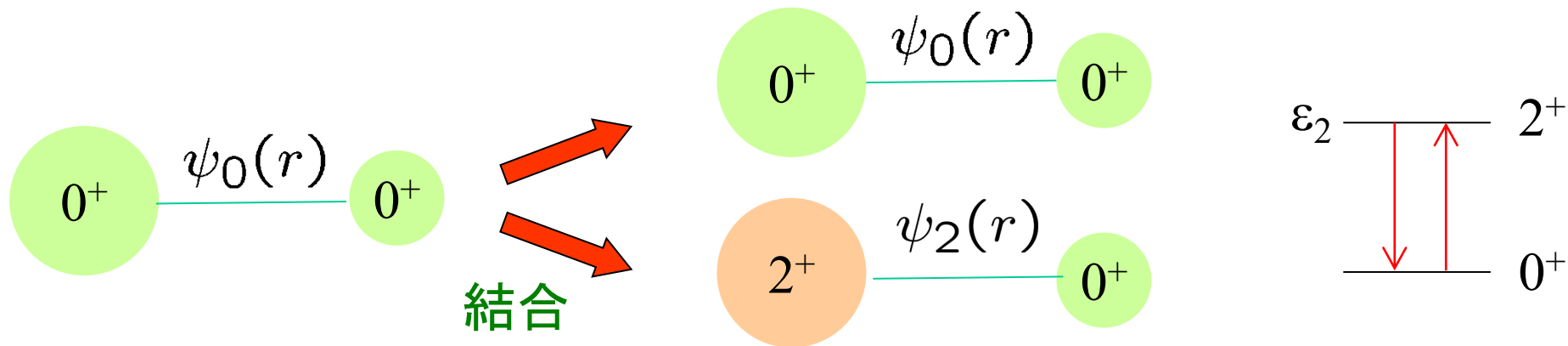
$$\left[-\frac{\hbar^2}{2\mu} \nabla^2 + V_0(r) - E \right] \psi_0(\mathbf{r}) = 0$$

結合チャンネル法 : 内部励起を考慮した量子散乱理論



$$\left[-\frac{\hbar^2}{2\mu} \nabla^2 + V_0(r) - E \right] \psi_0(\mathbf{r}) = -F_{0 \rightarrow 2}(r) \psi_2(\mathbf{r})$$

結合チャンネル法 : 内部励起を考慮した量子散乱理論

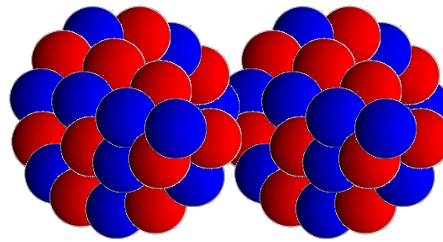


$$\left[-\frac{\hbar^2}{2\mu} \nabla^2 + V_0(r) - E \right] \psi_0(\mathbf{r}) = -F_{0 \rightarrow 2}(r) \psi_2(\mathbf{r})$$

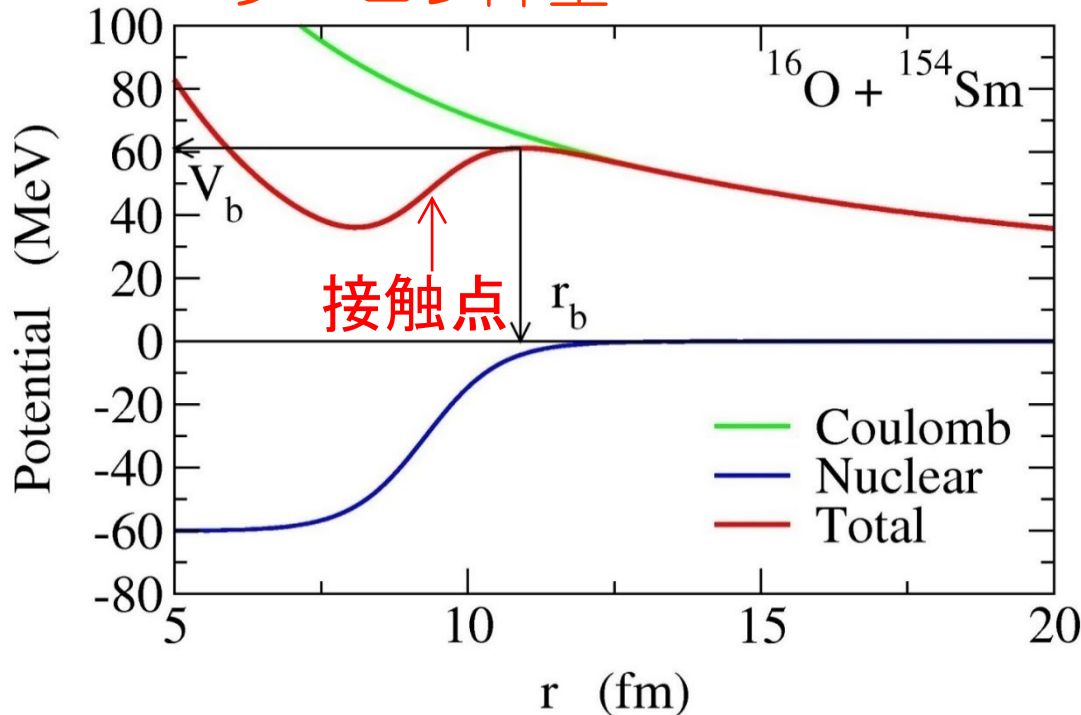
$$\left[-\frac{\hbar^2}{2\mu} \nabla^2 + V_2(r) - (E - \epsilon_2) \right] \psi_2(\mathbf{r}) = -F_{2 \rightarrow 0}(r) \psi_0(\mathbf{r})$$

- 核融合は吸収ポテンシャル(光学ポテンシャル)を導入して表現
- 励起状態に非束縛状態を含めると分解反応も記述可
(中性子過剰核など)

核融合反応



クーロン障壁



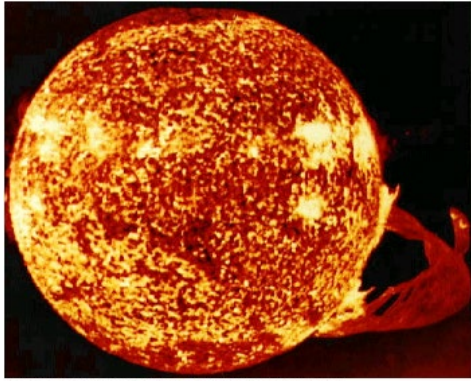
強い相互作用(引力)
とクーロン相互作用(斥力)
の競合



ポテンシャル障壁

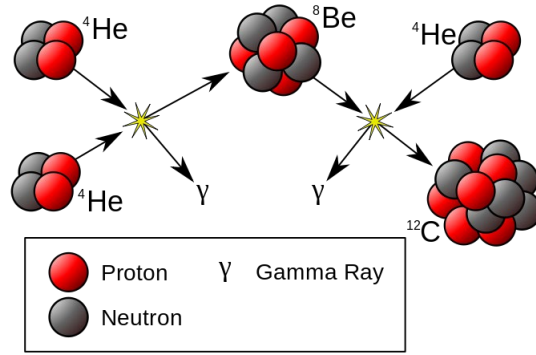
核融合反応 → 多体系の量子トンネル現象

核融合反応

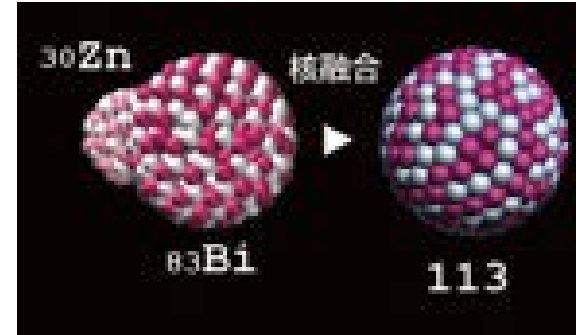


NASA, Skylab space station December 19, 1973, solar flare reaching 358 000 km off solar surface

恒星のエネルギー源
(Bethe '39)



元素合成



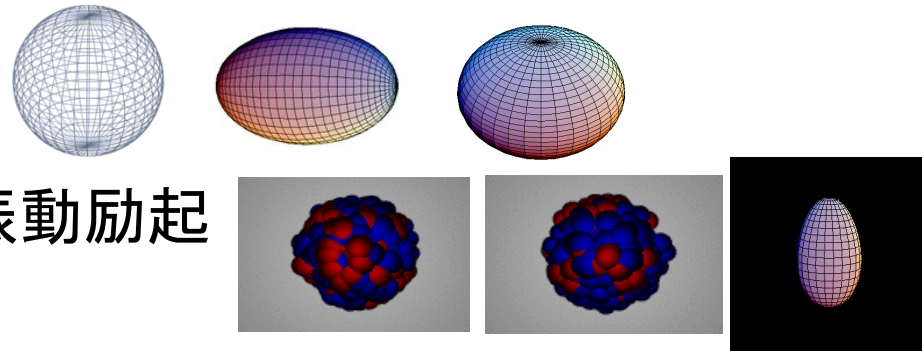
超重元素の合成

✓ 多粒子系の量子トンネル現象

・原子核の多様な内部自由度

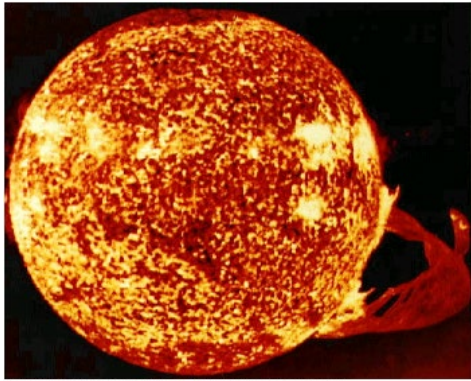
- 原子核の様々な形

- 様々なタイプの表面振動励起



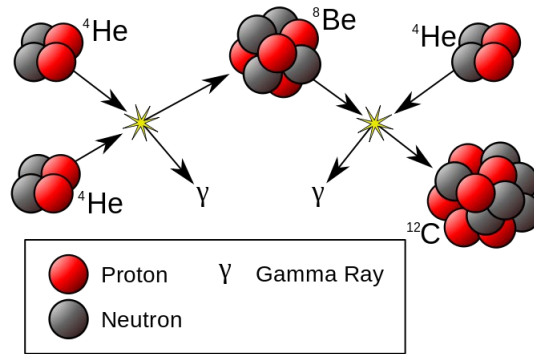
様々なモード、様々な速さ

核融合反応

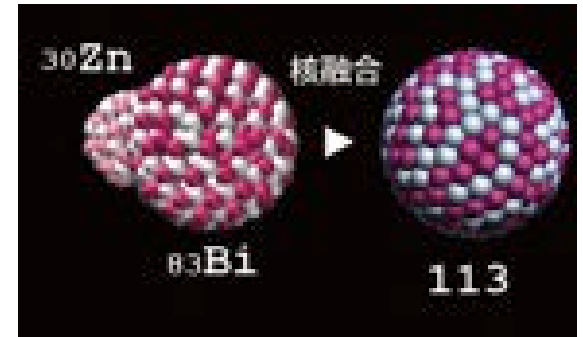


NASA, Skylab space station December 19, 1973, solar flare reaching 358 000 km off solar surface

恒星のエネルギー源
(Bethe '39)



元素合成

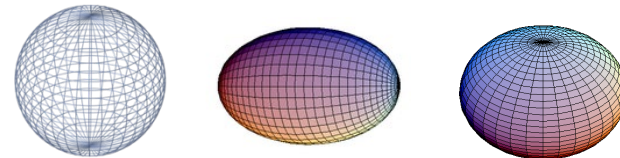


超重元素の合成

✓ 多粒子系の量子トンネル現象

・原子核の多様な内部自由度

- 原子核の様々な形

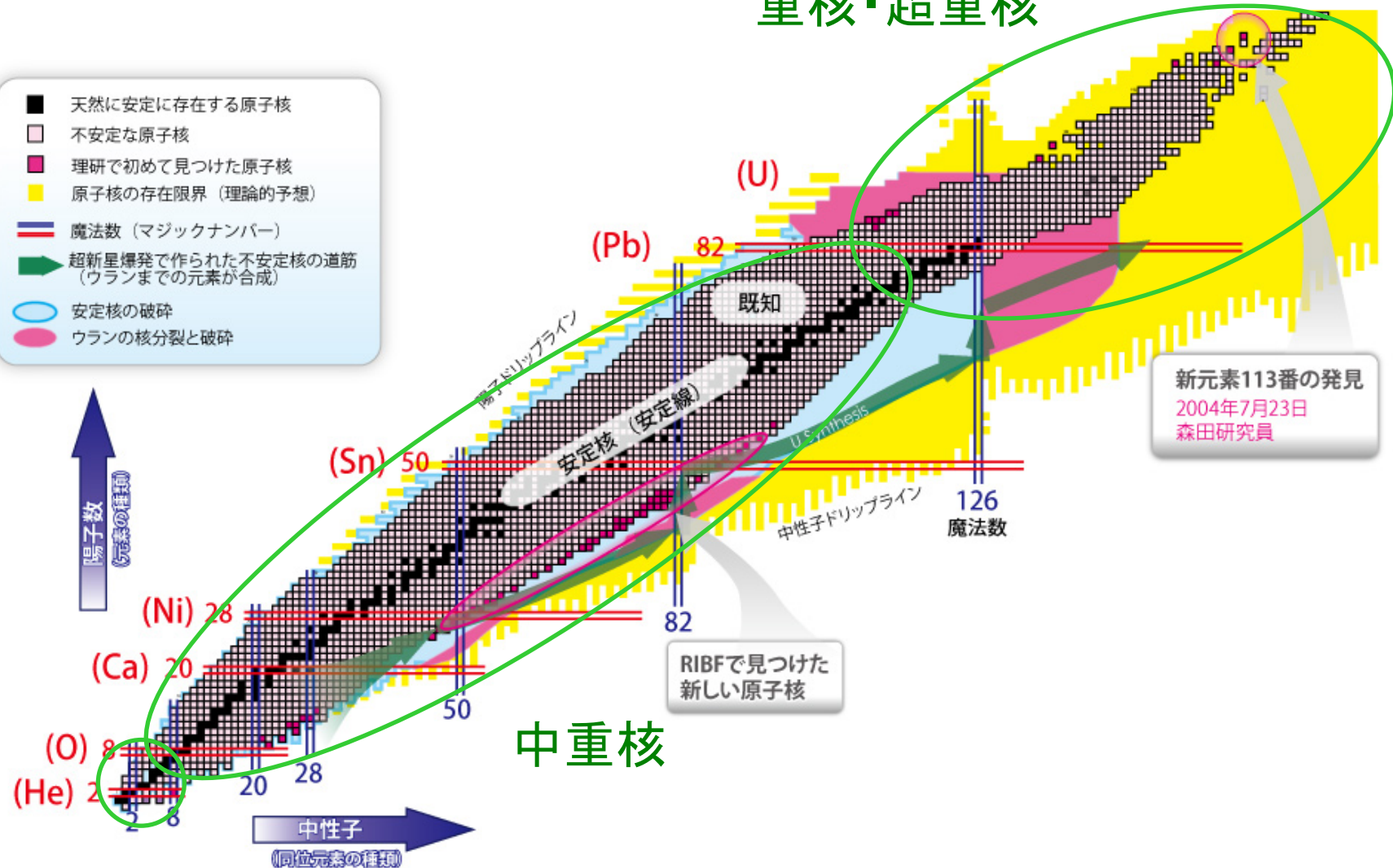


- 様々なタイプの表面振動励起

核融合反応 = 多自由度系・多粒子系の量子トンネル現象を理解する上で理想的な現象

重核・超重核

- 天然に安定に存在する原子核
- 不安定な原子核
- 理研で初めて見つけた原子核
- 原子核の存在限界 (理論的予想)
- 魔法数 (マジックナンバー)
- ➔ 超新星爆発で作られた不安定核の道筋 (ウランまでの元素が合成)
- 安定核の破碎
- ウランの核分裂と破碎



新元素113番の発見
2004年7月23日
森田研究員

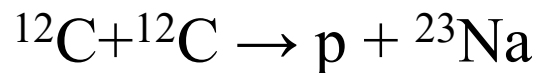
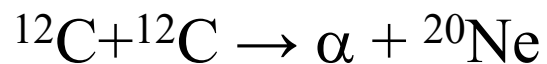
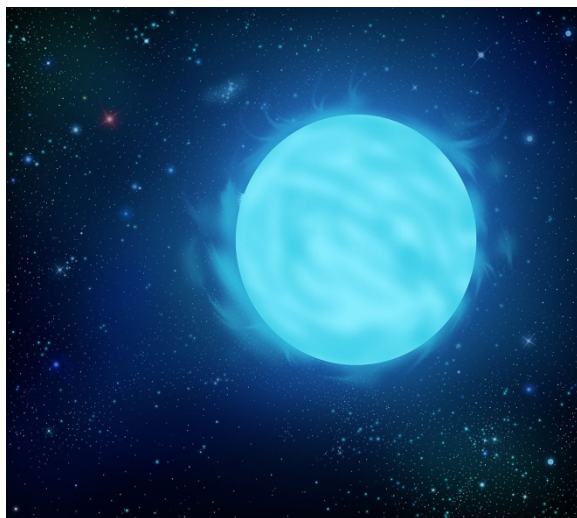
RIBFで見つけた
新しい原子核

軽い原子核

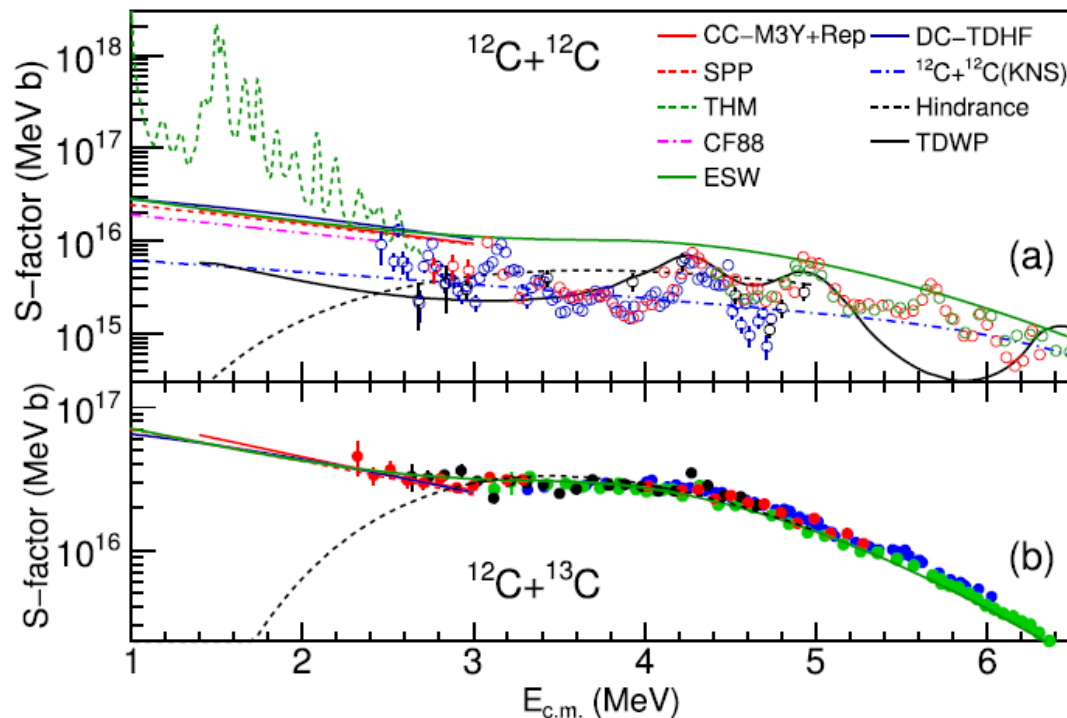
中重核

軽い核の融合反応

$^{12}\text{C}+^{12}\text{C}$ 核融合反応



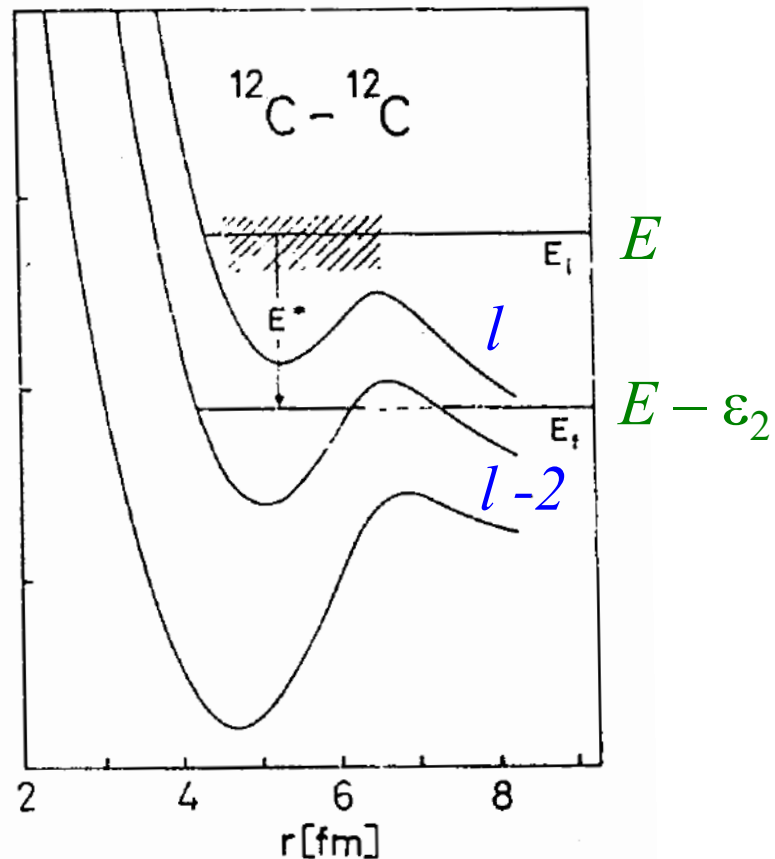
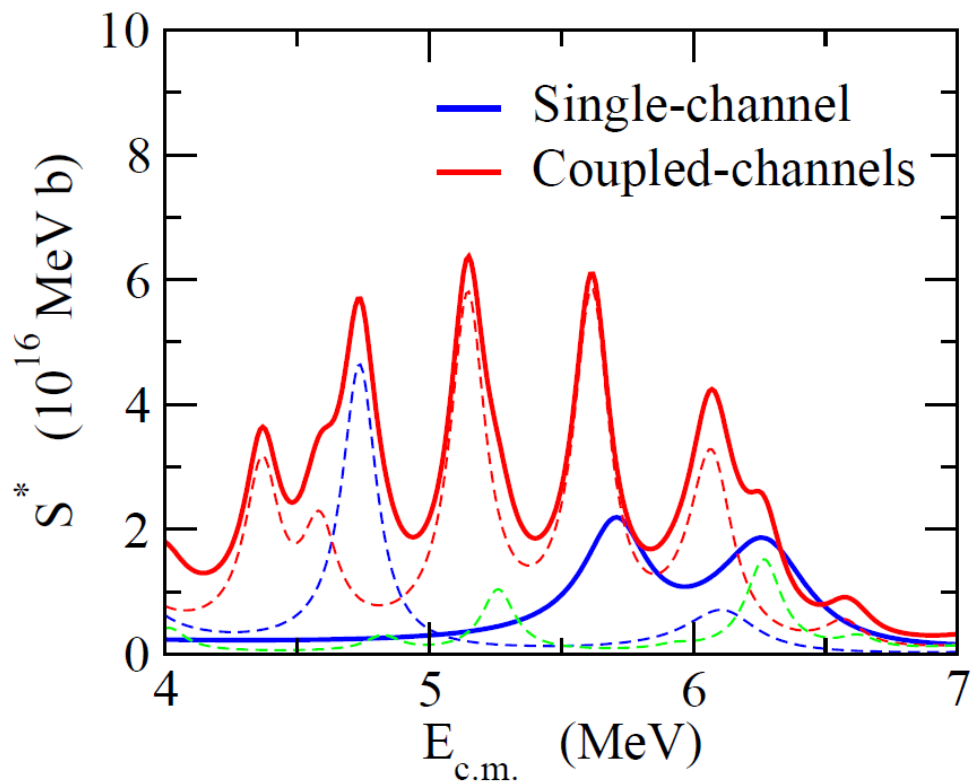
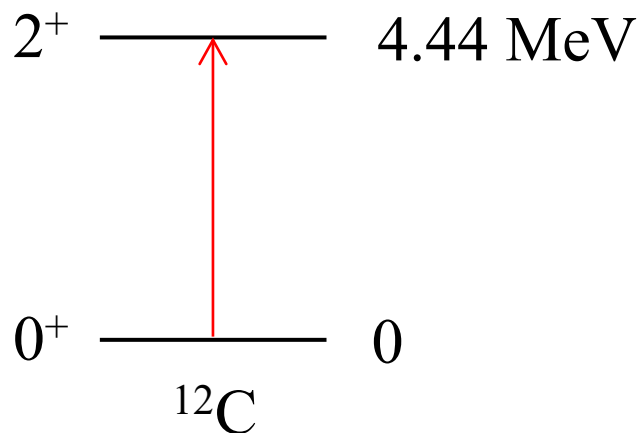
$$S(E) = E\sigma_{\text{fus}}(E) e^{2\pi\eta(E)}$$



N.T. Zhang et al.,
Phys. Lett. B801 (2020) 135170

$^{12}\text{C}+^{12}\text{C}$: 多くの共鳴ピーク

$^{12}\text{C}+^{12}\text{C}$ 核融合反応

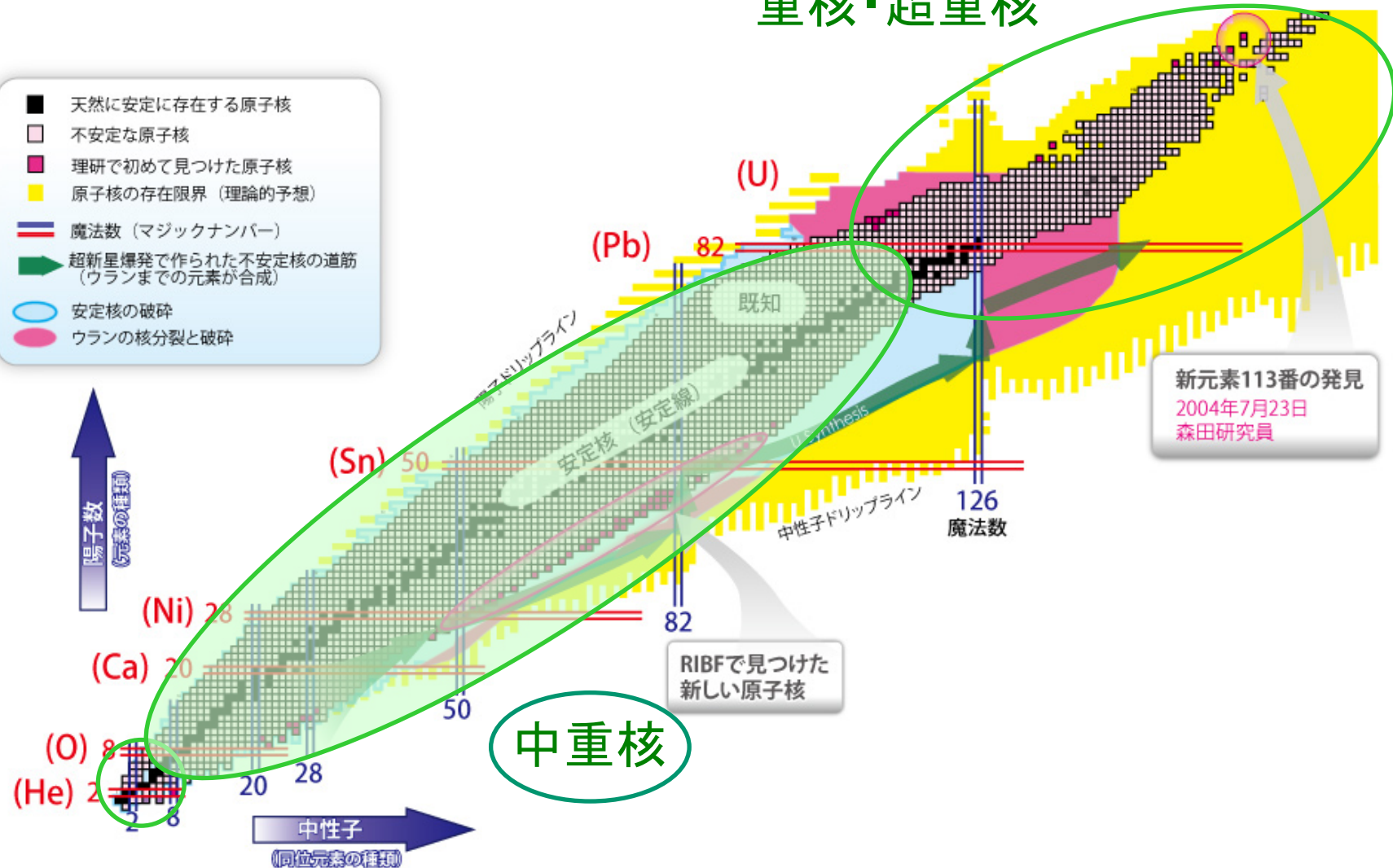


H.-J. Fink, W. Scheid,
and W. Greiner,
NPA188 ('72) 259

ある種の Feshbach 共鳴

重核・超重核

- 天然に安定に存在する原子核
- 不安定な原子核
- 理研で初めて見つけた原子核
- 原子核の存在限界 (理論的予想)
- 魔法数 (マジックナンバー)
- ➔ 超新星爆発で作られた不安定核の道筋 (ウランまでの元素が合成)
- 安定核の破碎
- ウランの核分裂と破碎



新元素113番の発見
2004年7月23日
森田研究員

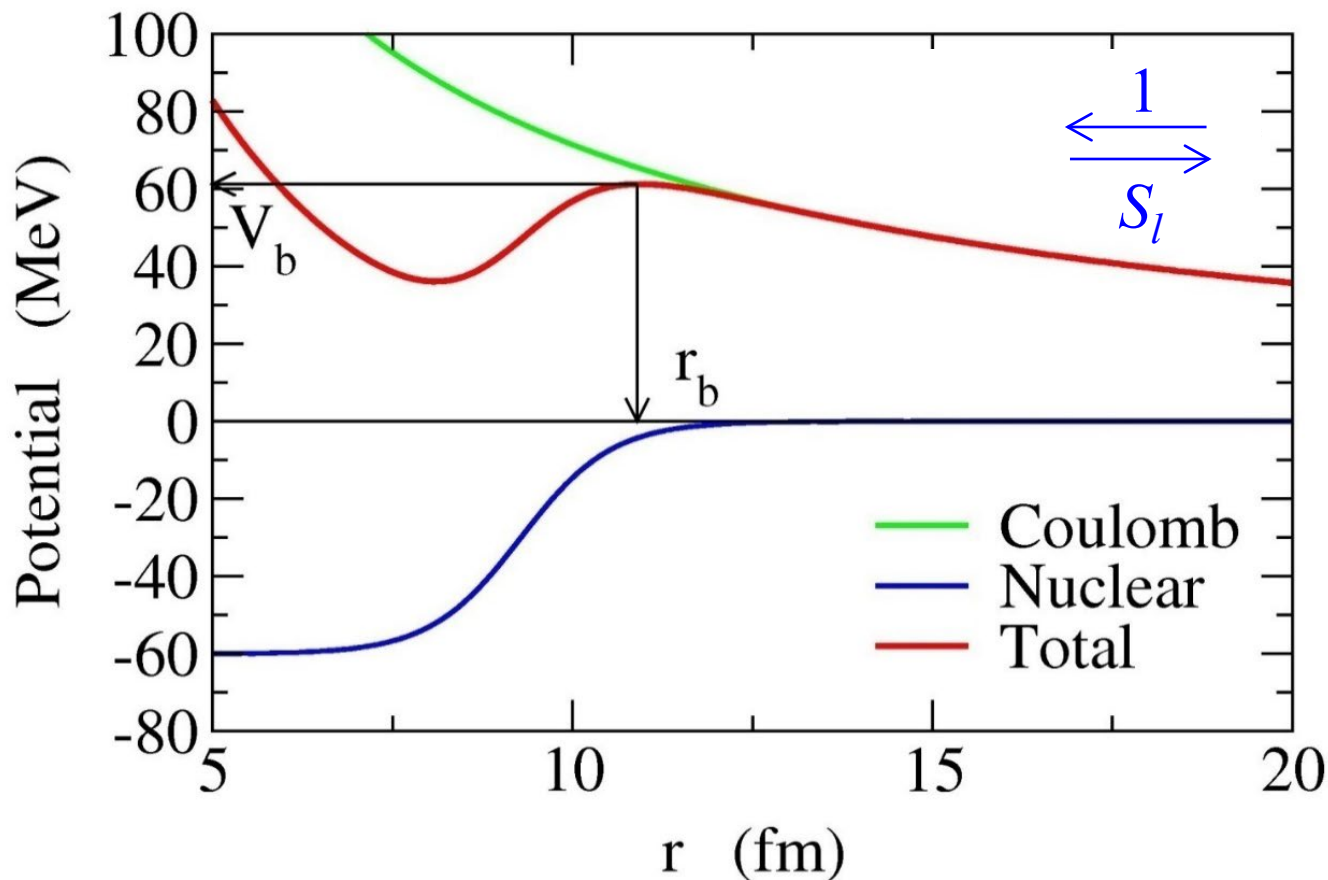
中重核

軽い原子核

中重核の核融合反応

ポテンシャル模型: 散乱核は構造を持たない球と仮定

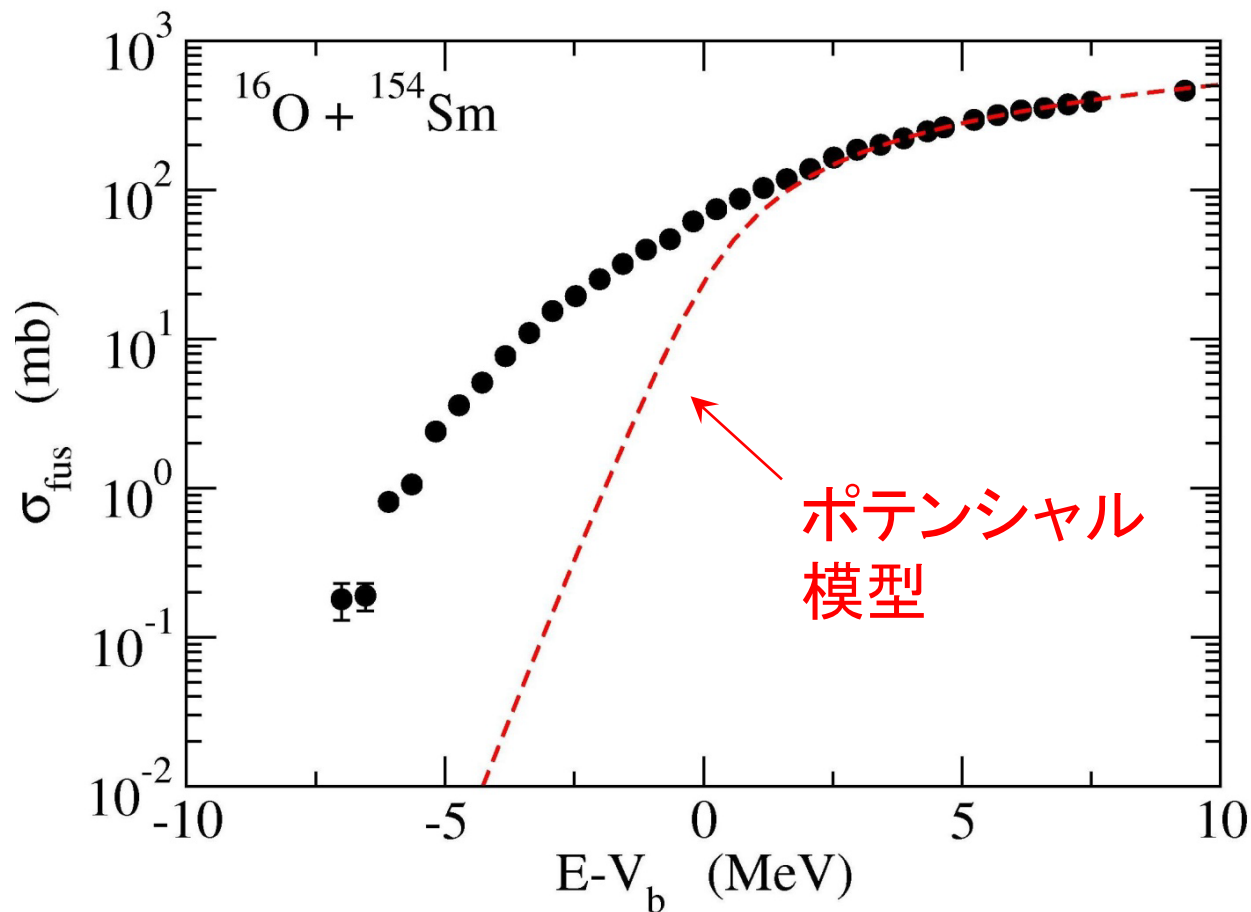
$$\sigma_{\text{fus}} = \frac{\pi}{k^2} \sum_l (2l + 1)(1 - |S_l|^2)$$



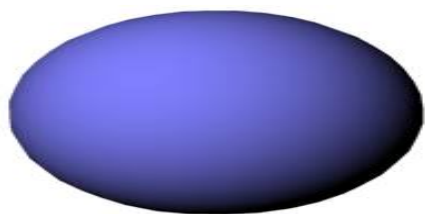
中重核の核融合反応

ポテンシャル模型: 散乱核は構造を持たない球と仮定

$$\sigma_{\text{fus}} = \frac{\pi}{k^2} \sum_l (2l + 1)(1 - |S_l|^2)$$



^{154}Sm : 典型的な変形核



^{154}Sm

(MeV)

0.903 ————— 8^+

0.544 ————— 6^+

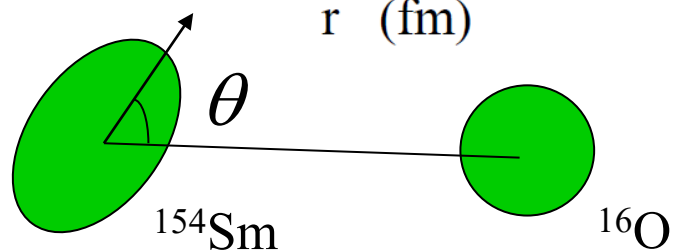
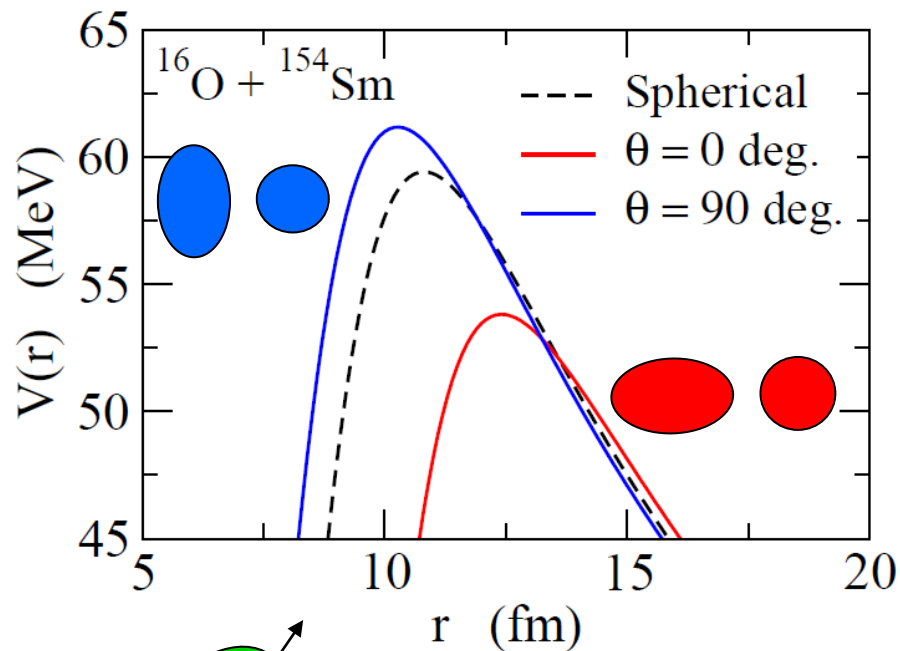
0.267 ————— 4^+

0.082 ————— 2^+

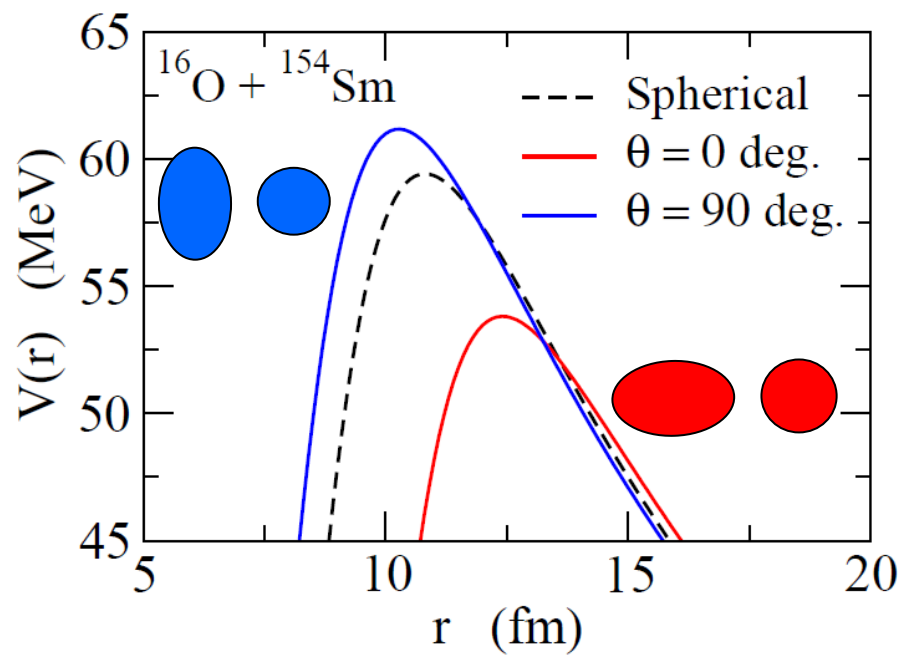
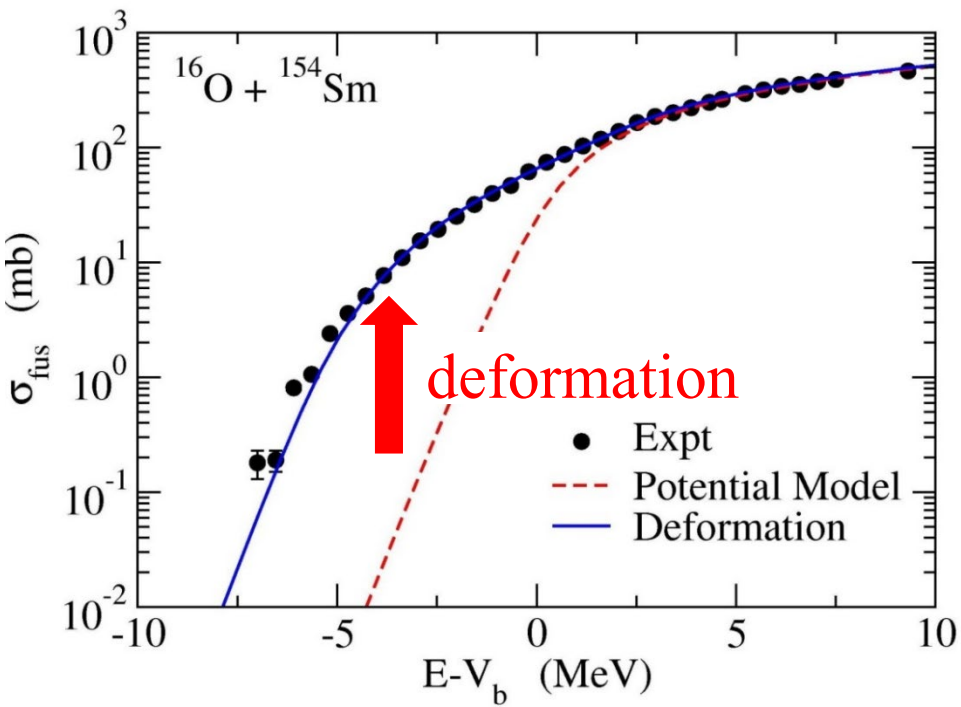
0 ————— 0^+

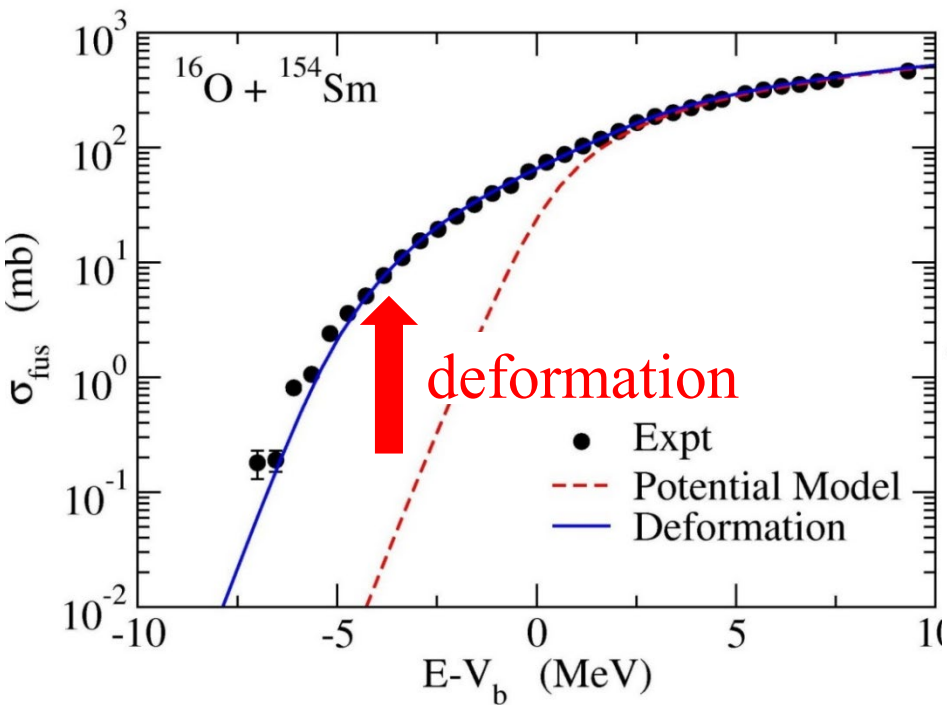
^{154}Sm

回転スペクトル

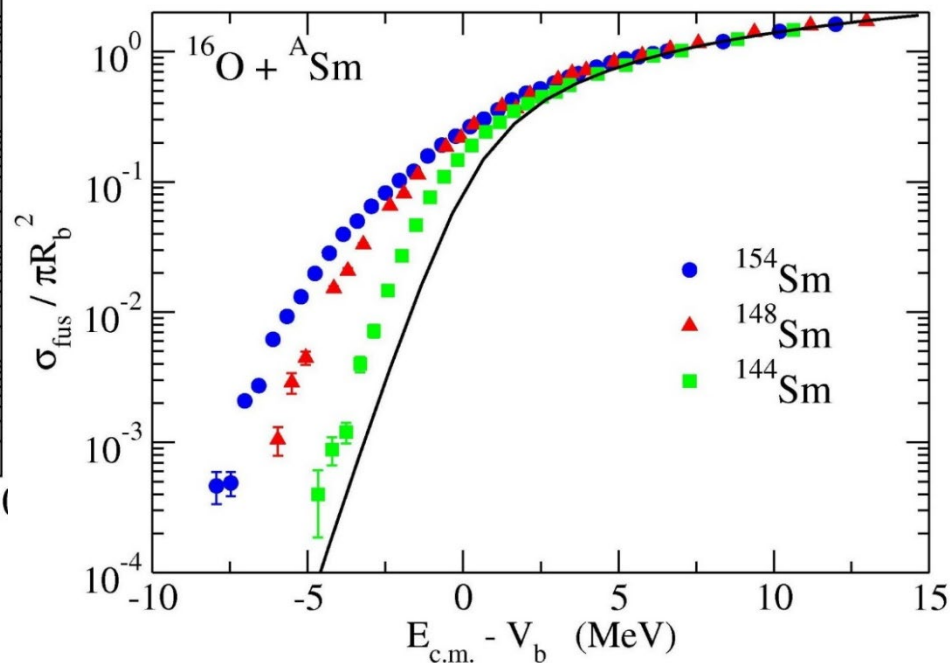


$$\sigma_{\text{fus}}(E) = \int_0^1 d(\cos \theta) \sigma_{\text{fus}}(E; \theta)$$





変形していない核でも
同様の増幅現象



それぞれの原子核
のスペクトルと強い相関
→ coupling assisted
トンネル現象

(MeV)
1.81 — 3^-
1.66 — 2^+

(MeV)
1.18 — 4^+
1.16 — 3^-

(MeV)
0.90 — 8^+
0.54 — 6^+
0.27 — 4^+
0.082 — 2^+
0 — 0^+

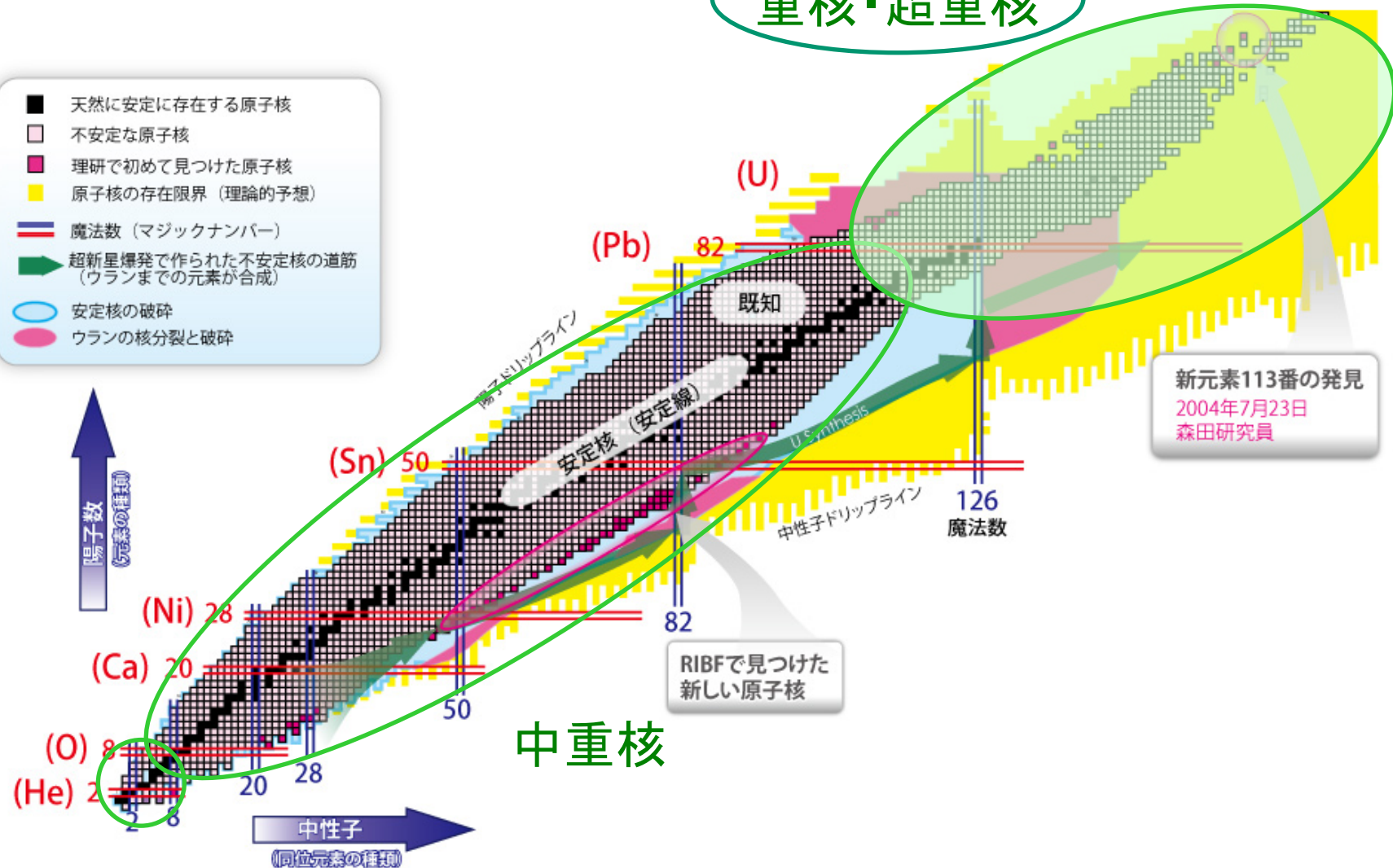
0 — 0^+
 ^{144}Sm

0 — 0^+
 ^{148}Sm

0 — 0^+
 ^{154}Sm

重核・超重核

- 天然に安定に存在する原子核
- 不安定な原子核
- 理研で初めて見つけた原子核
- 原子核の存在限界 (理論的予想)
- 魔法数 (マジックナンバー)
- ➔ 超新星爆発で作られた不安定核の道筋 (ウランまでの元素が合成)
- 安定核の破碎
- ウランの核分裂と破碎



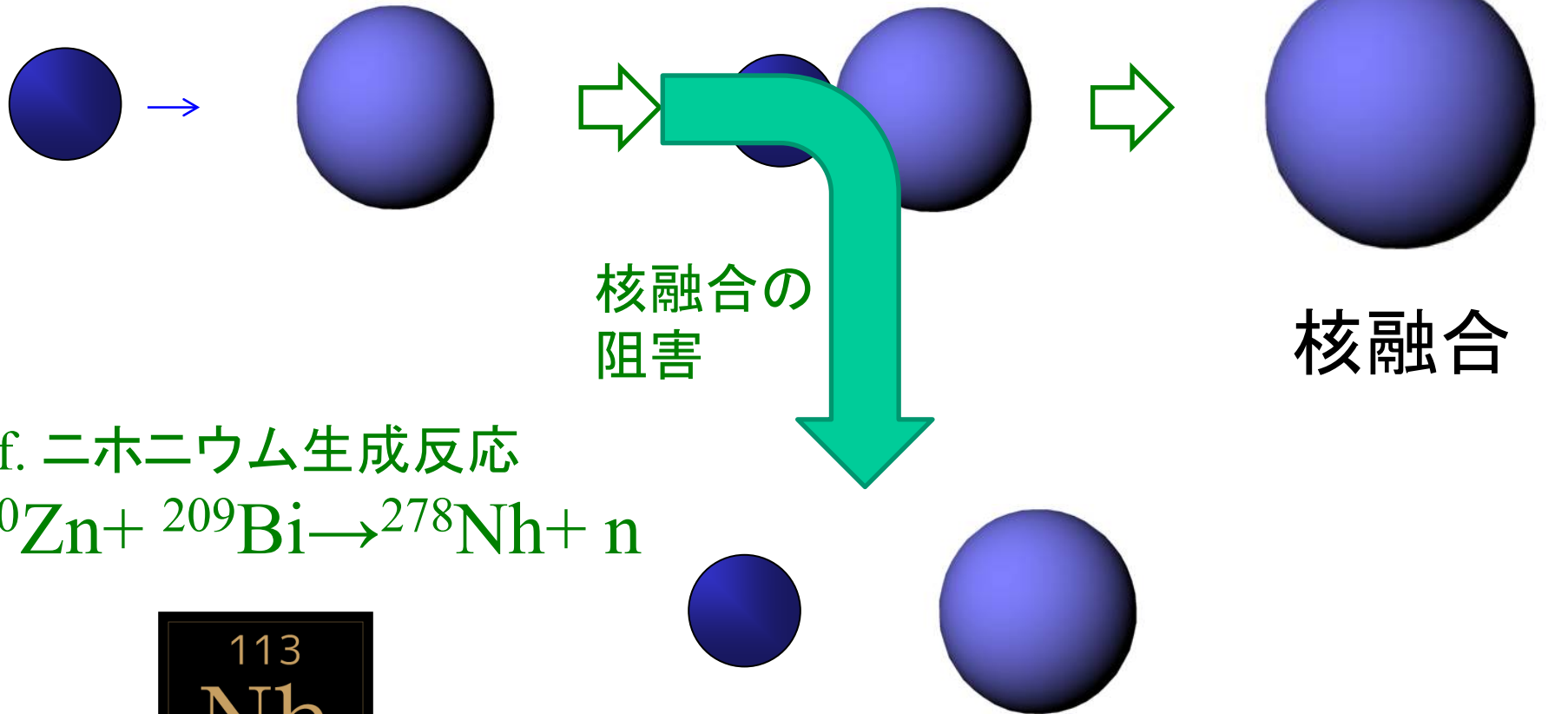
新元素113番の発見
2004年7月23日
森田研究員

軽い原子核

中重核

重核の核融合反応と超重元素

原子核形状の発展
cf. 核分裂



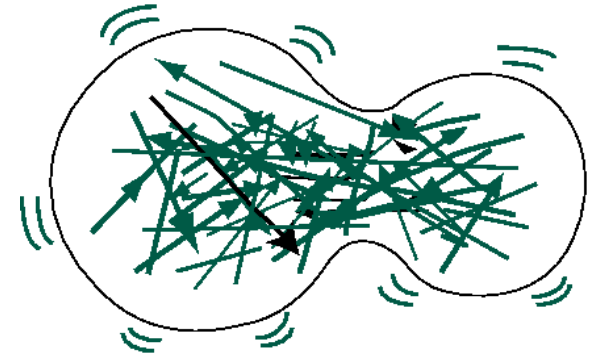
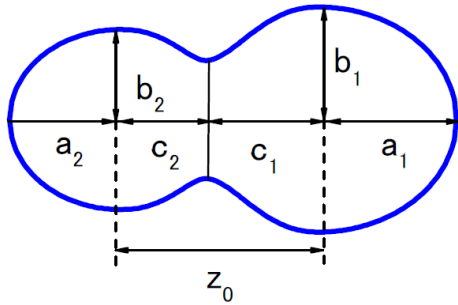
cf. ニホニウム生成反応



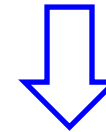
強いクーロン反発
→ 再分離

核融合

原子核形状の発展

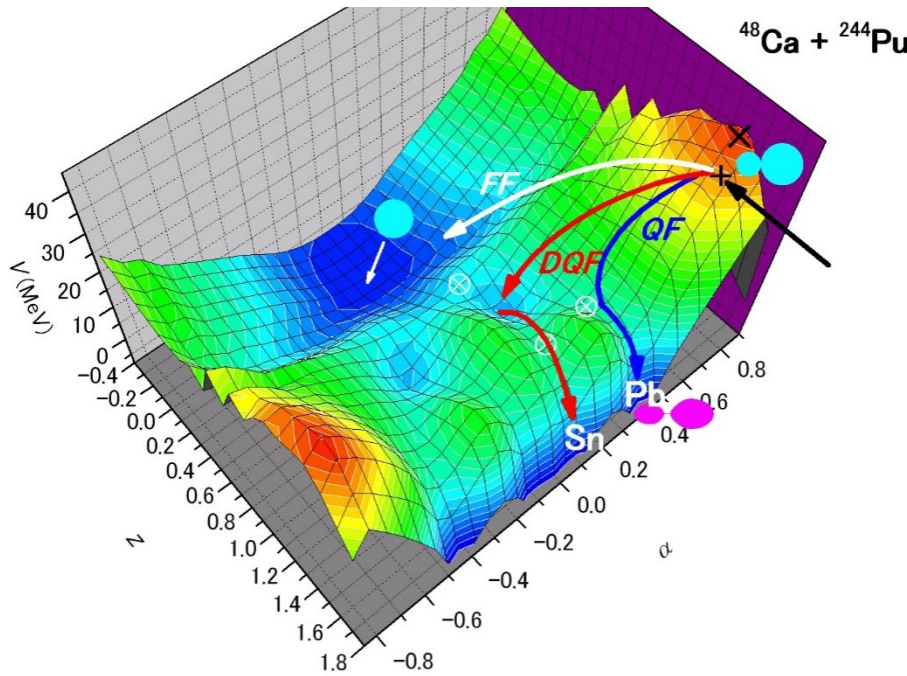


原子核 = 核子多体系



原子核の内部自由度: 「環境」
「内的環境自由度」

→ 量子開放系の物理



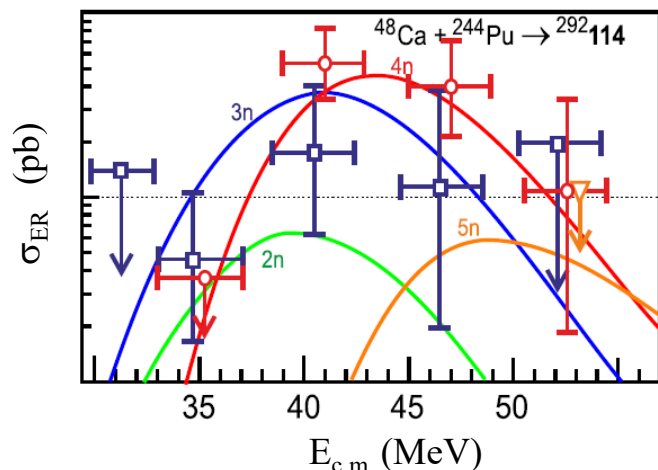
cf. (古典)ランジュバン方程式

$$m \frac{d^2 q}{dt^2} = - \frac{dV(q)}{dq} - \gamma \frac{dq}{dt} + R(t)$$

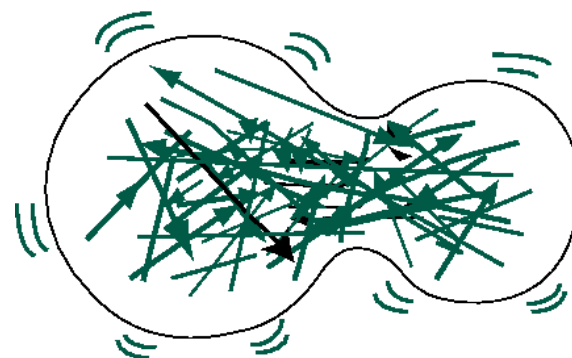
Y. Aritomo, K. Hagino, K. Nishio,
and S. Chiba, PRC85 (2012) 044614

原子核形状の発展

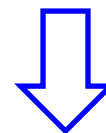
➤ 現象論的には成功



V.I. Zagrebaev and W. Greiner (2015)



原子核 = 核子多体系



原子核の内部自由度: 「環境」
「内的環境自由度」

→ 量子開放系の物理

cf. (古典)ランジュバン方程式

$$m \frac{d^2 q}{dt^2} = - \frac{dV(q)}{dq} - \gamma \frac{dq}{dt} + R(t)$$

超重元素反応のハイブリッドモデル: TDHF + Langevin アプローチ

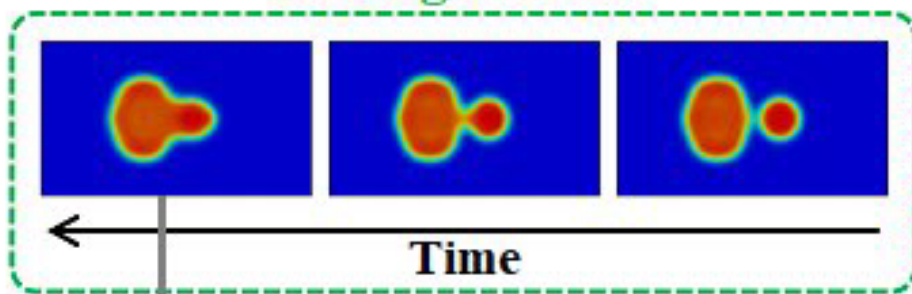
K. Sekizawa and K.H., PRC99 (2019) 051602(R)



新しい核反応モデルの開発

時間に依存する
密度汎関数理論

1st stage: TDHF



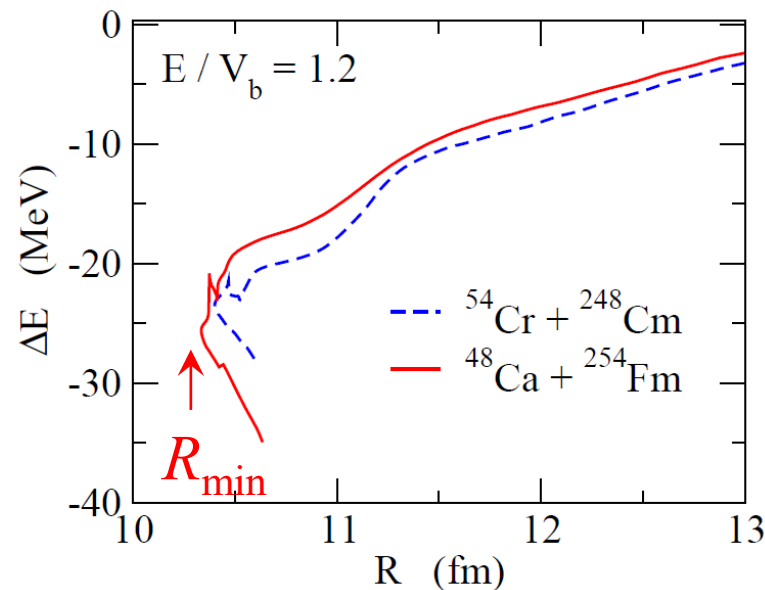
3rd stage:
statistical model

統計力学的手法



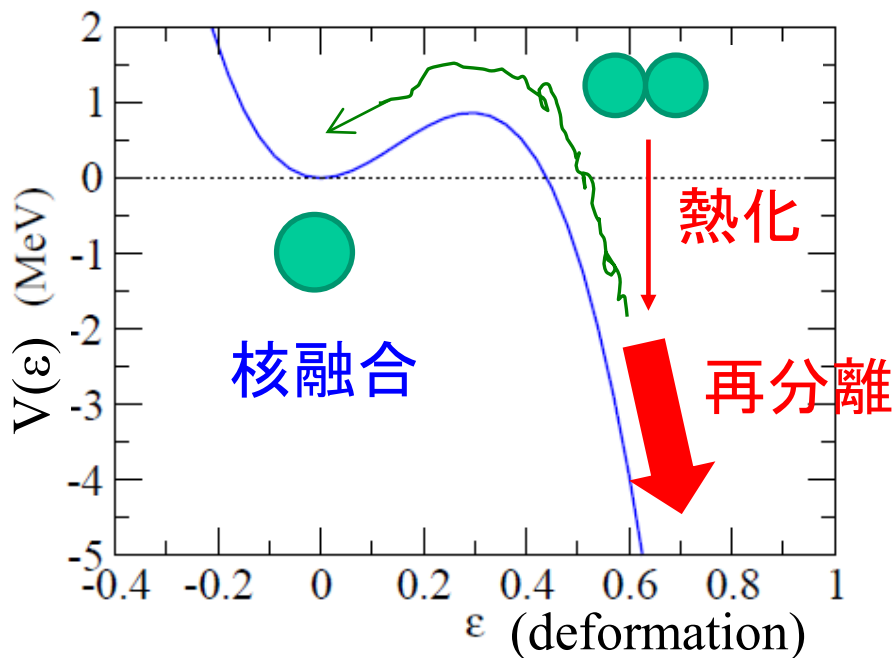
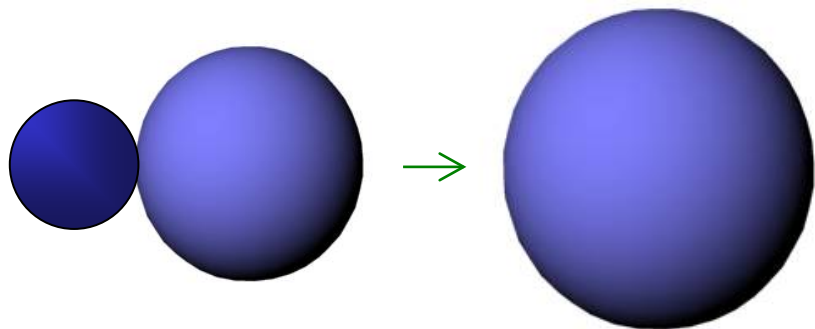
2nd stage:
Langevin model

ランジュバン方程式



断面積の反応系依存性

理論物理学としての課題



一見成功しているように見えるが。。。

$$m \frac{d^2 q}{dt^2} = -\frac{dV(q)}{dq} - \gamma \frac{dq}{dt} + R(t)$$

➤ 理論的課題

- ✓ どのように熱化するのか?
- ✓ 拡散に対する量子効果?
- ✓ マルコフ効果の妥当性?

→ 量子ランジュバン法の検討

熱的拡散

→ ランジュバン法

量子ランジュバン計算に向けて

M. Tokieda and K.H., Ann. of Phys. 412 (2020) 168005

微視的量子ハミルトニアン

Caldeira-Leggett 模型

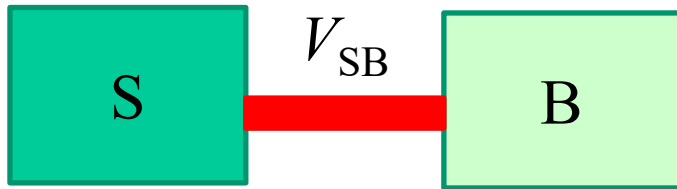
古典極限

古典ランジュバン方程式

$$m \frac{d^2 q}{dt^2} = -\frac{dV(q)}{dq} - \gamma \frac{dq}{dt} + R(t)$$

現象論的方程式

$$H = \frac{p^2}{2m} + V(q) + \underbrace{\sum_i \hbar \omega_i a_i^\dagger a_i}_{\text{H.O.}} + \underbrace{h(q) \sum_i d_i (a_i + a_i^\dagger)}_{\text{linear coupling}}$$



系

内部自由度
(H.O.)

このハミルトニアンを量子的に
正確に解く → 量子ランジュバンに相当

量子ランジュバン計算に向けて

M. Tokieda and K.H.,
Ann. of Phys. 412 (2020) 168005

$$H_{\text{CL}} = \frac{p^2}{2m} + V(q) + \sum_i \hbar\omega_i a_i^\dagger a_i + h(q) \sum_i d_i (a_i + a_i^\dagger)$$

ハミルトニアンをそのまま解く: この固有状態を基底として全 wf を展開

$$\Psi_{\text{tot}}(q, t) = \sum_{\{n_i\}} \psi_{\{n_i\}}(q, t) |\{n_i\}\rangle$$

$$|\{n_i\}\rangle = \prod_{i=1}^{\infty} \frac{1}{\sqrt{n_i!}} (a_i^\dagger)^{n_i} |0\rangle$$

→ 次元が膨大になりすぎて解けない

ただし、短時間の発展には全ての基底が必要ではない

→ うまい基底を取り直して適当に打ち切る

$$\Psi_{\text{tot}}(q, t) = \sum_{\{\tilde{n}_k\}} \tilde{\psi}_{\{\tilde{n}_k\}}(q, t) |\{\tilde{n}_k\}\rangle$$

$$|\{\tilde{n}_k\}\rangle = \prod_{k=1}^K \frac{1}{\sqrt{\tilde{n}_k!}} (b_k^\dagger)^{\tilde{n}_k} |0\rangle$$

$$b_k^\dagger = \sum_i C_{ki} a_i^\dagger$$

量子ランジュバン計算に向けて

M. Tokieda and K.H.,
Ann. of Phys. 412 (2020) 168005

$$H_{\text{CL}} = \frac{p^2}{2m} + V(q) + \sum_i \hbar\omega_i a_i^\dagger a_i + h(q) \sum_i d_i (a_i + a_i^\dagger)$$

$$\Psi_{\text{tot}}(q, t) = \sum_{\{\tilde{n}_k\}} \tilde{\psi}_{\{\tilde{n}_k\}}(q, t) |\{\tilde{n}_k\}\rangle$$

$$|\{\tilde{n}_k\}\rangle = \prod_{k=1}^K \frac{1}{\sqrt{\tilde{n}_k!}} (b_k^\dagger)^{\tilde{n}_k} |0\rangle$$

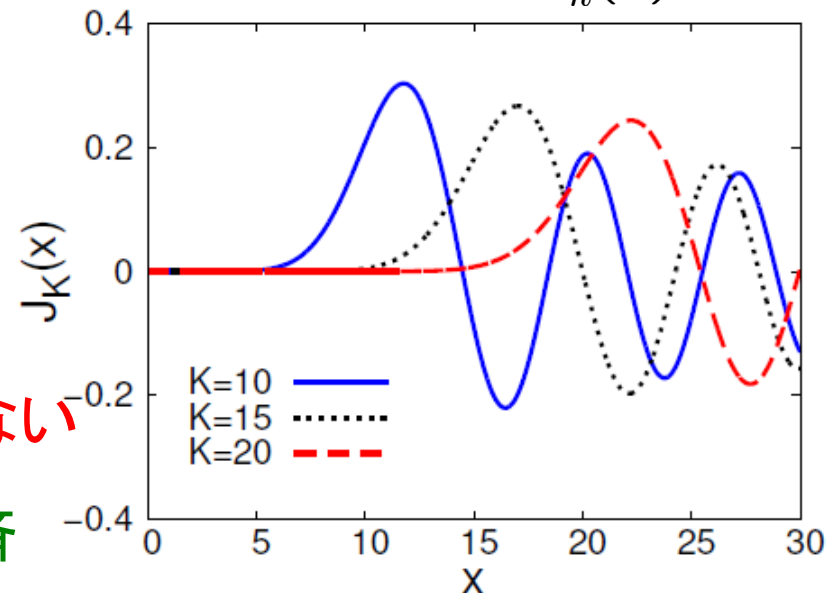
$$b_k^\dagger = \sum_i C_{ki} a_i^\dagger$$

$$J_k(x) \sim x^k$$

$$e^{-i\omega t} \sim \sum_{k=0}^K \eta_k(\omega) J_k(t)$$

ベッセル関数

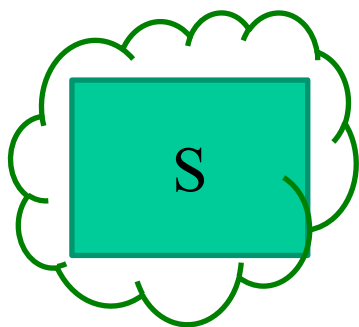
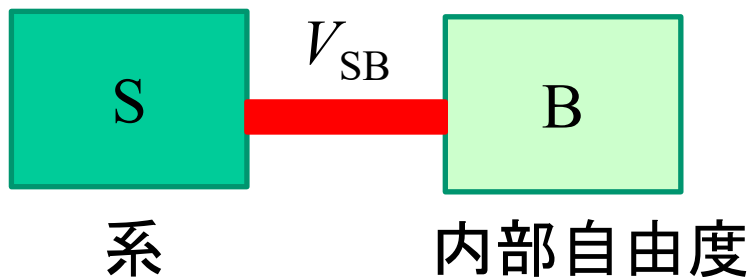
$$\rightarrow b_k^\dagger = \sum_i \left[\frac{d_i}{\hbar} \eta_k(\omega_i) \right] a_i^\dagger$$



t が小さい領域では大きな *k* は効かない

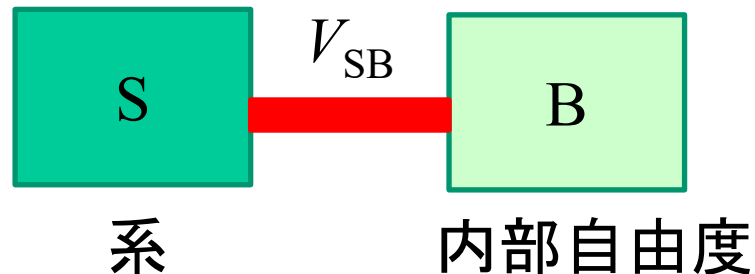
* 減衰振動模型で有効性を確認済

よくある解き方



内部自由度を消去
→ Sに対する有効作用

我々の解き方



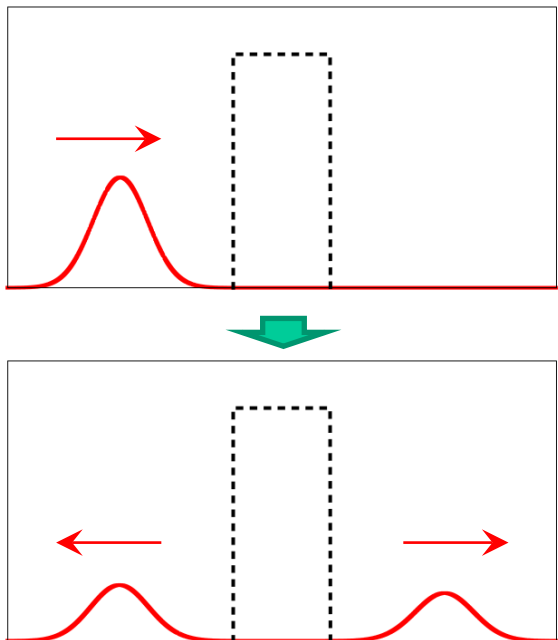
系も内部自由度も同等に
陽に扱う

- 各時刻ごとに内部状態がわかる
- エネルギー輸送の議論が容易になる。
 - ・ 熱化の様子を追うことができる

核反応の記述に適している

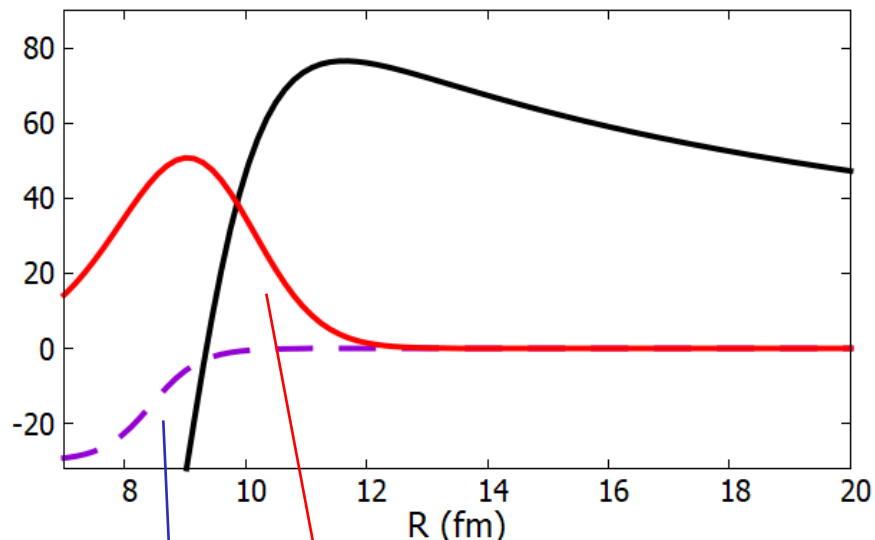
CL模型の 重イオン核融合反応への適用

時間に依存する波束法



$$R(E) \propto \langle \psi_R(t_f) | \delta(H - E) | \psi_R(t_f) \rangle$$

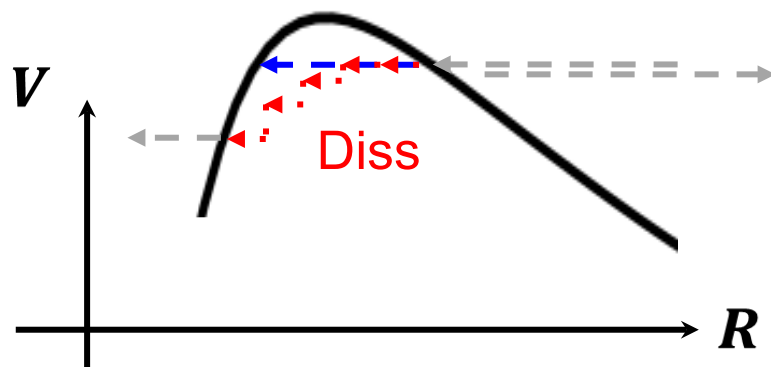
$^{16}\text{O} + ^{208}\text{Pb}$



環境との結合

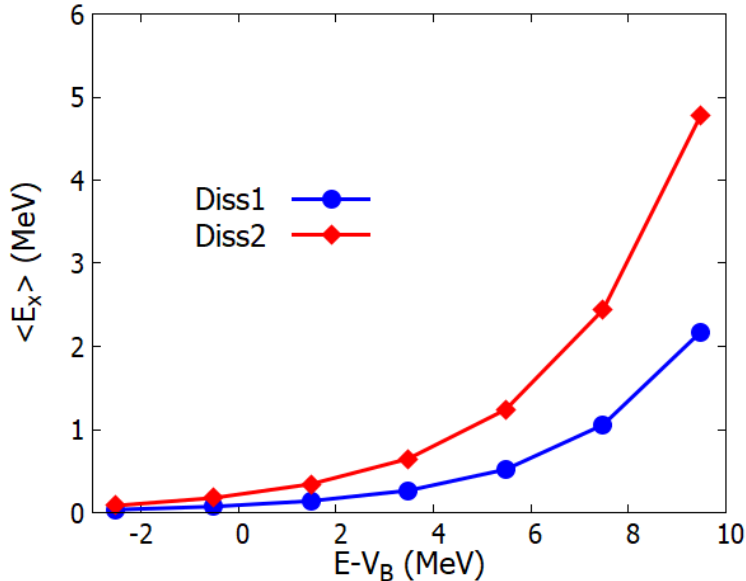
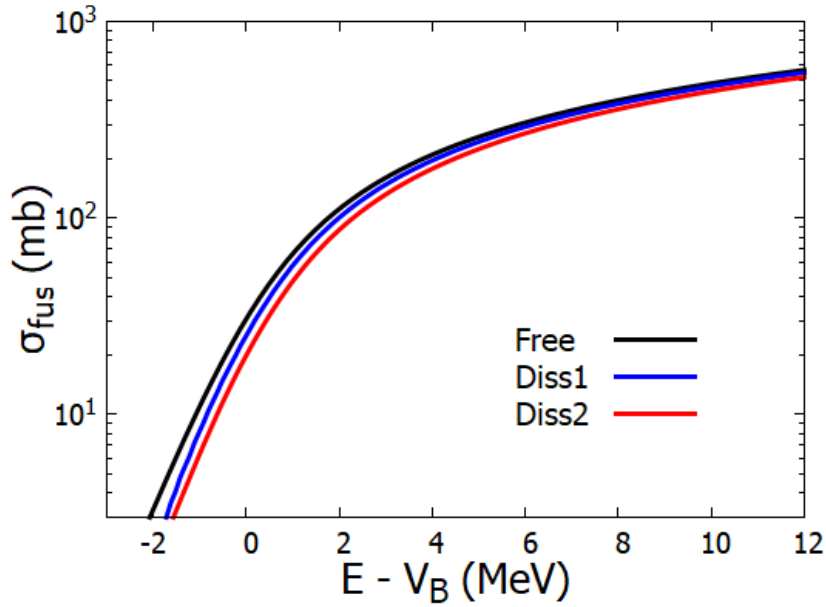
$$h(r) \propto V'_N(r)^2$$

吸収ポテンシャル(核融合)



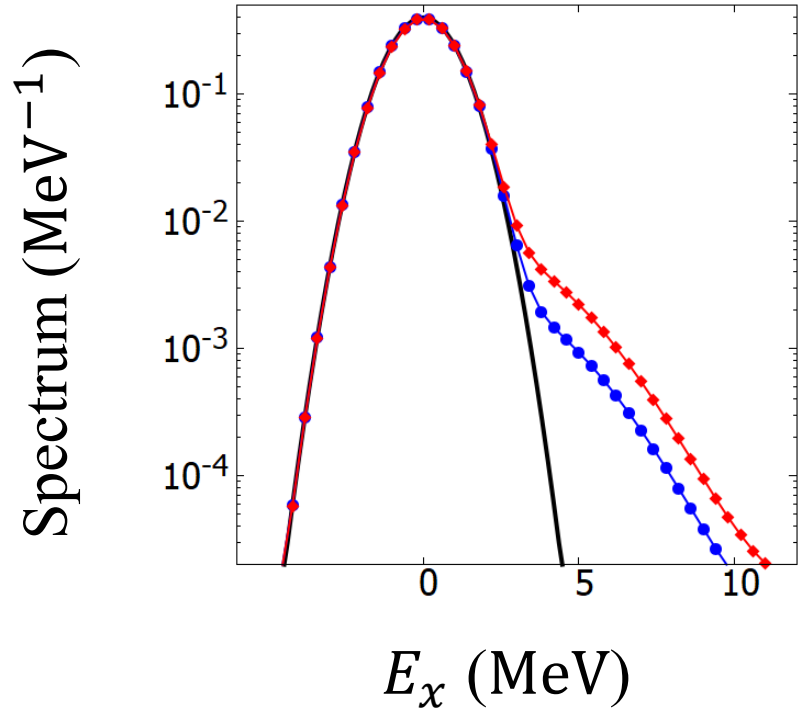
核融合反応断面積

$$\sigma_{\text{fus}}(E) = \frac{\pi}{k^2} \sum_l (2l + 1)(1 - R_l(E))$$



励起スペクトル

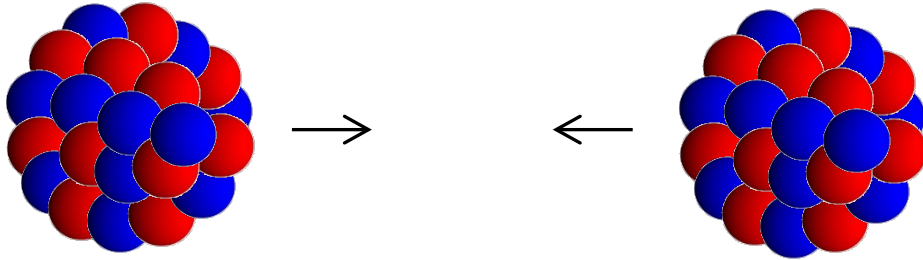
$$E/V_B \simeq 0.96$$



M. Tokieda and K. Hagino,
Front. in Phys. 8 (2020) 8.

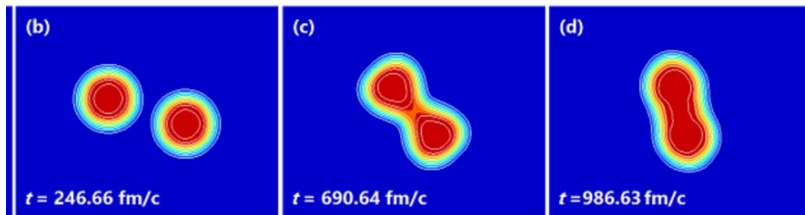
微視的核反応理論の可能性

多体問題



未だに超難問題

時間に依存する平均場理論 (TDHF/TDDFT)

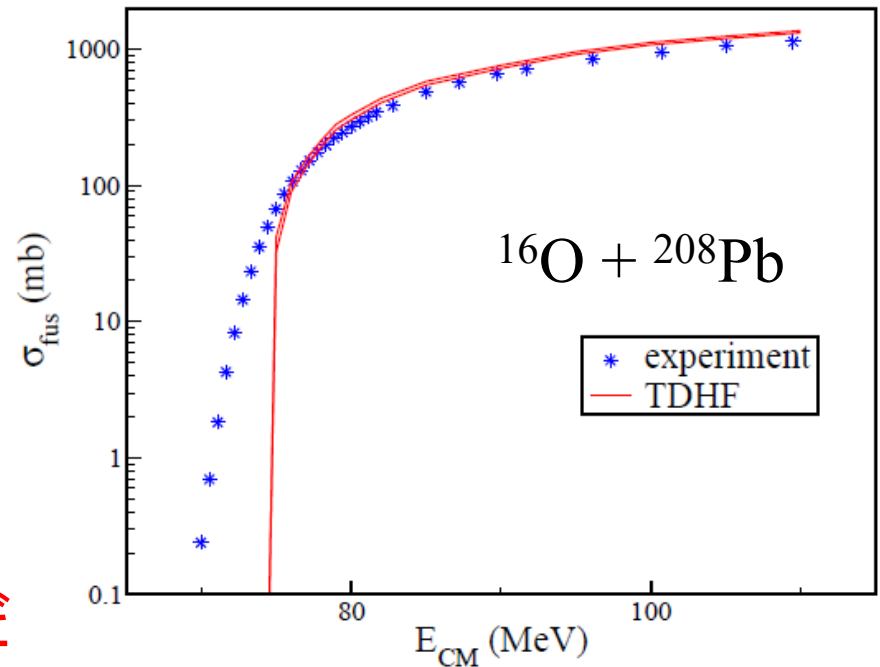


S. Ebata, T. Nakatsukasa,
JPC Conf. Proc. 6 ('15) 020056

(半)古典的

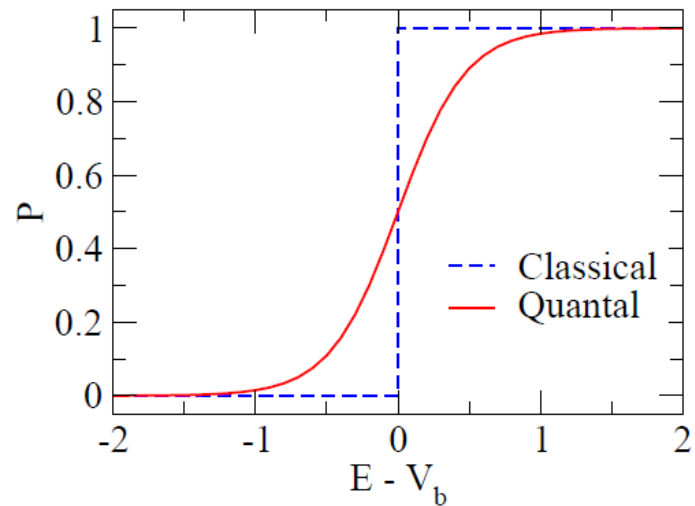
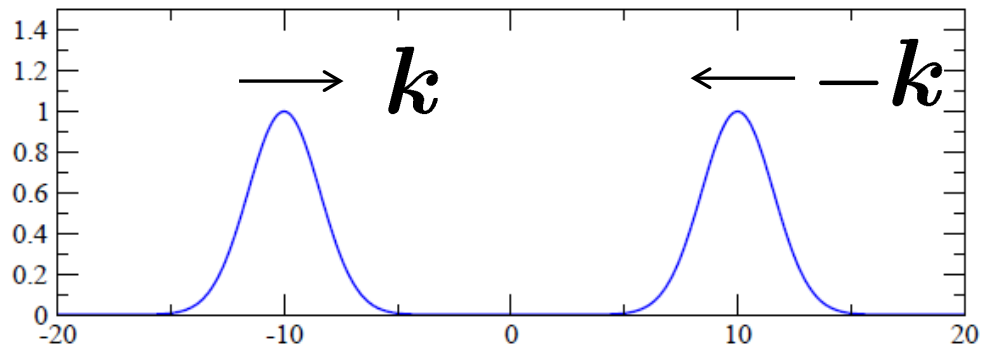
→トンネルが記述できない

多体系としてトンネル現象がまだ
理解できていない



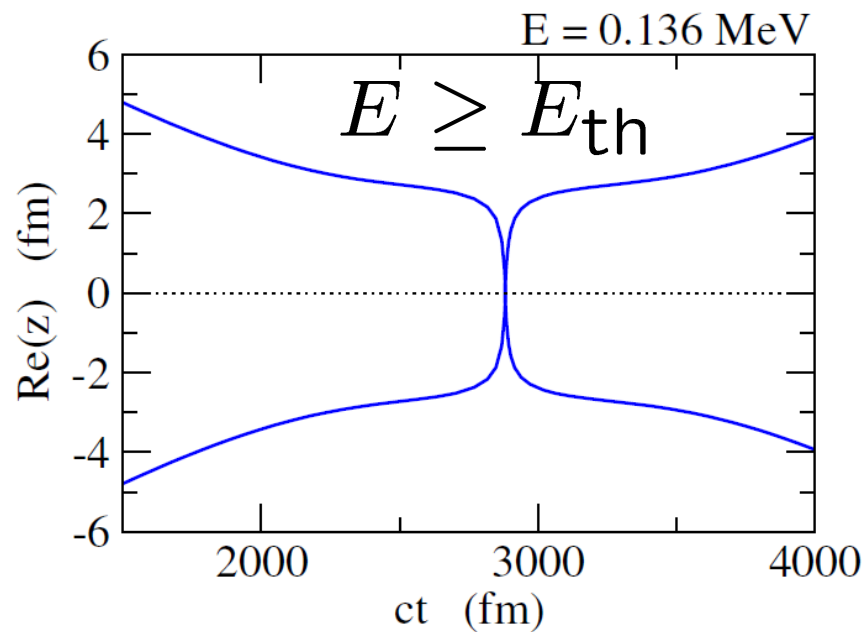
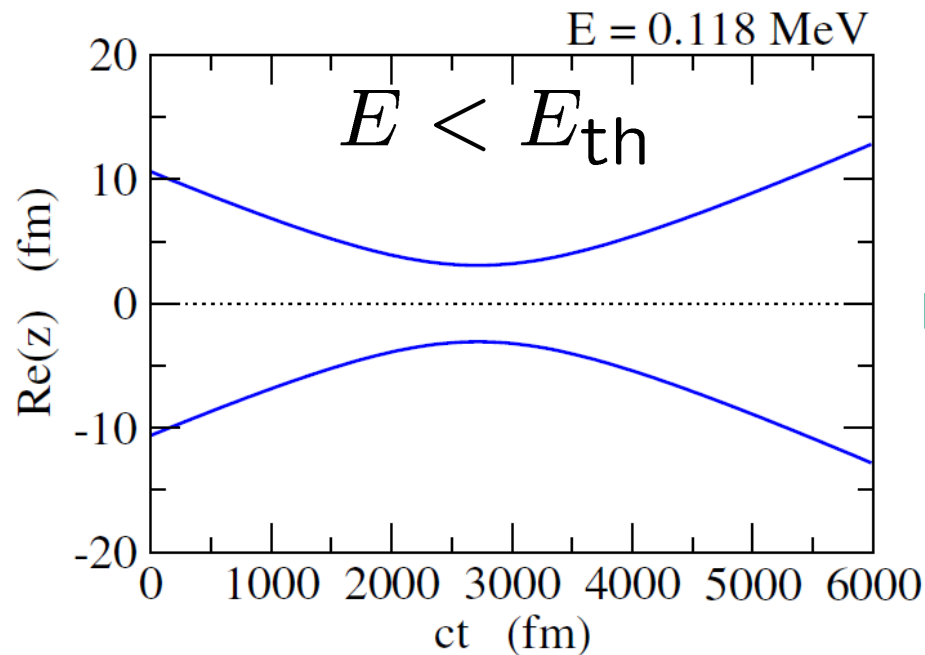
TDHF

$$\Psi(t) = \Phi_{SD}(t)$$

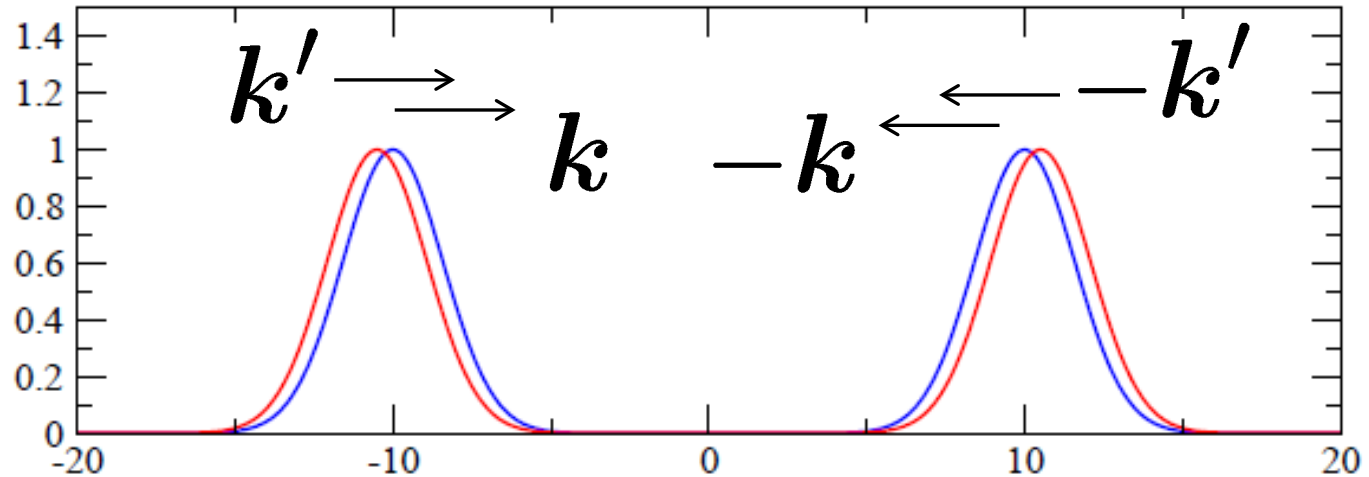


単一のスレーター行列式で多体波動関数を表す

$\alpha + \alpha$ in 1D



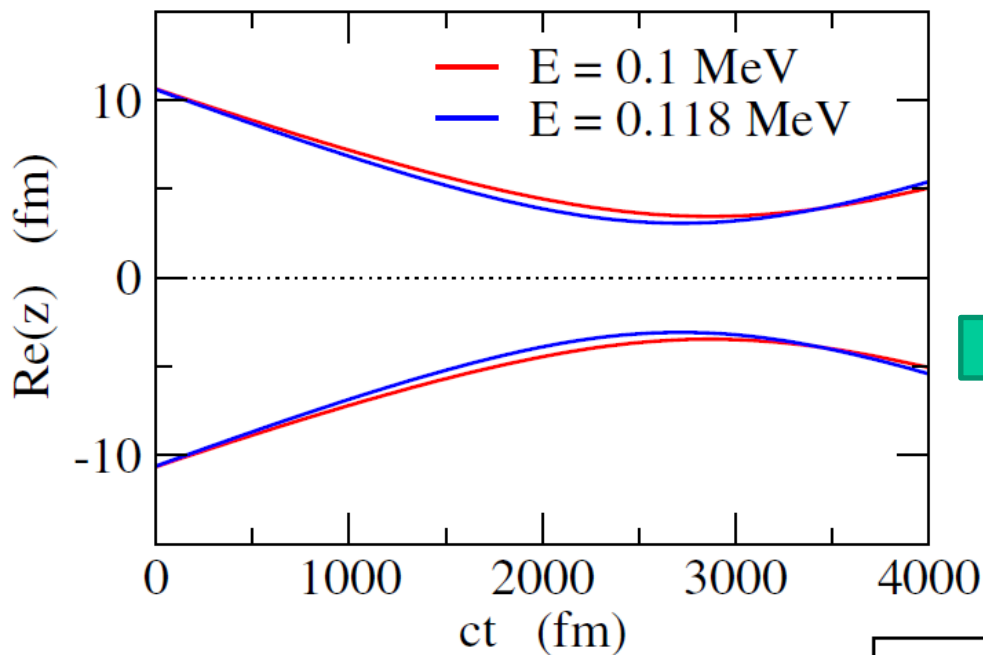
スレーター行列式の重ね合わせ



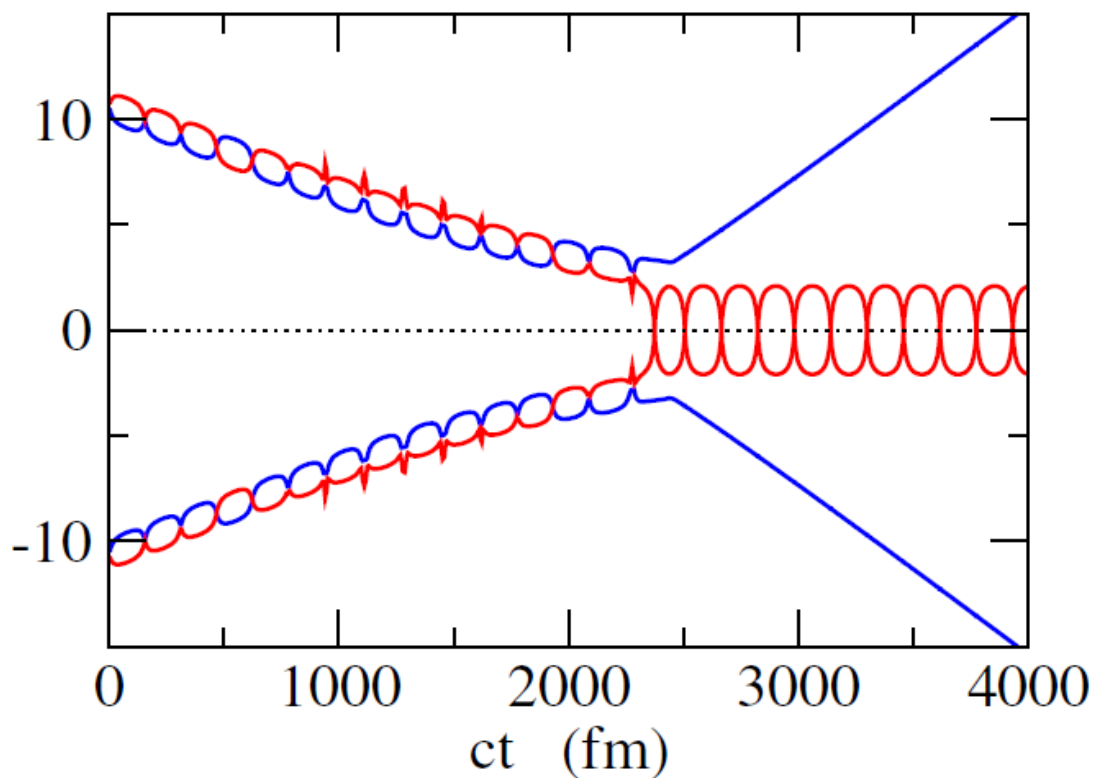
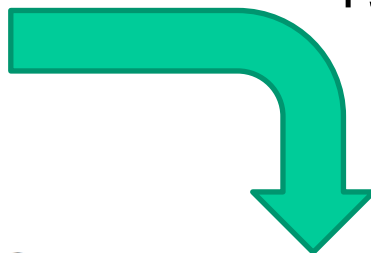
$$\Psi(t) = \sum_k \underbrace{f_k(t)} \underbrace{\Phi_{SD,k}(t)}$$

時間に依存する変分原理

$$\delta \int dt \frac{\langle \Psi(t) | i\hbar \partial_t - H | \Psi(t) \rangle}{\langle \Psi(t) | \Psi(t) \rangle} = 0$$

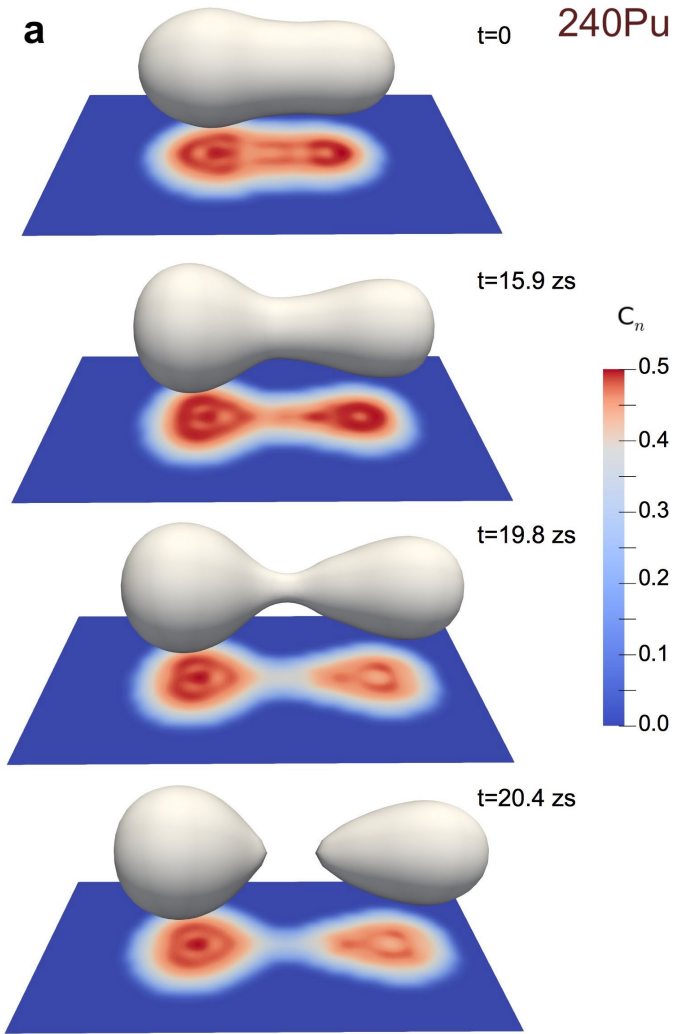


TDGCM
 (2つのスレーター
 行列式の重ね合わせ)



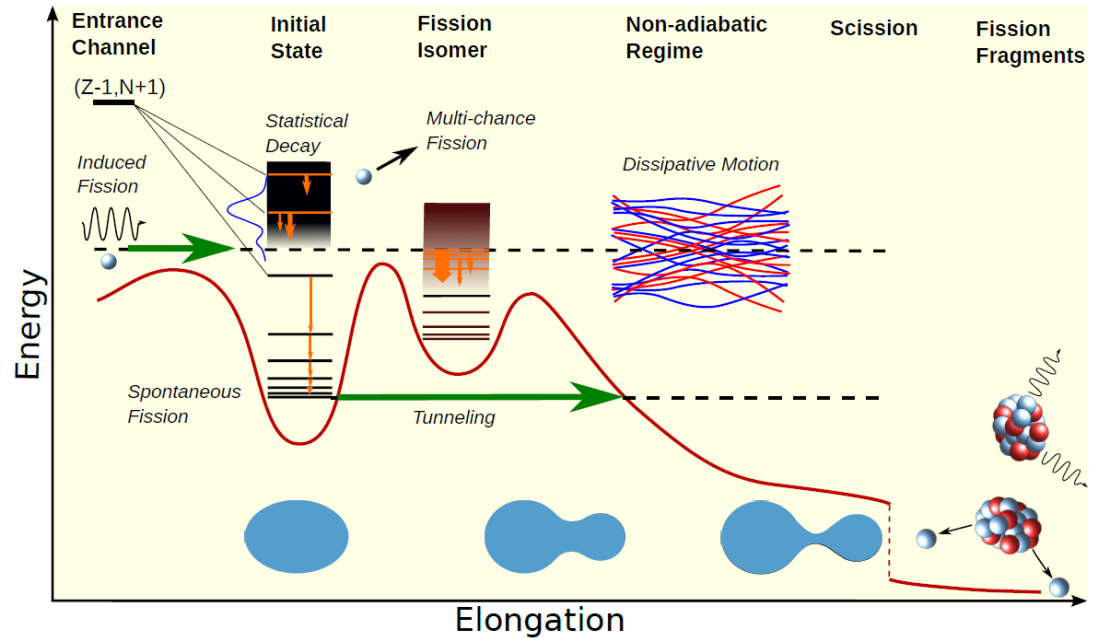
N. Hasegawa, K.H.,
 and Y. Tanimura,
 PLB808, 135693 (2020)

核分裂の微視的理解



G. Scamps and C. Simenel,
Nature 564 (2018) 382

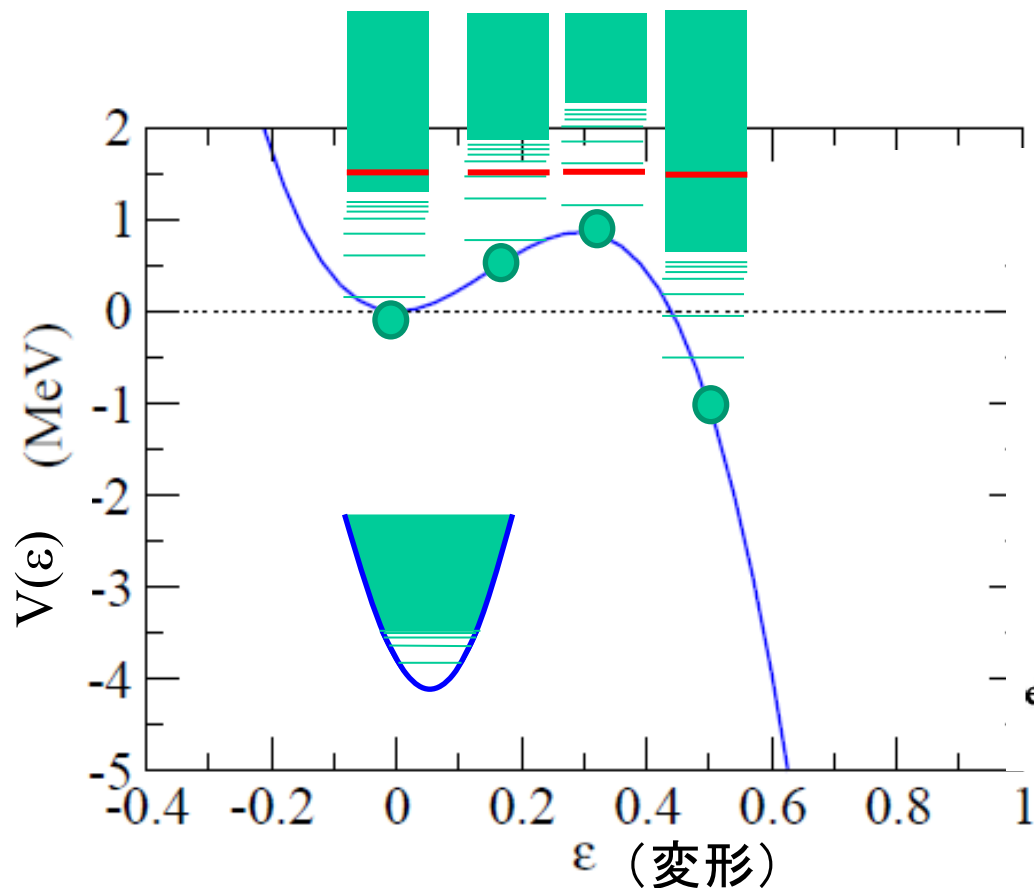
原子核の形状が大きく変化
→ 微視的記述はまだ成功していない



M. Bender et al.,
J. of Phys. G47, 113002 (2020)

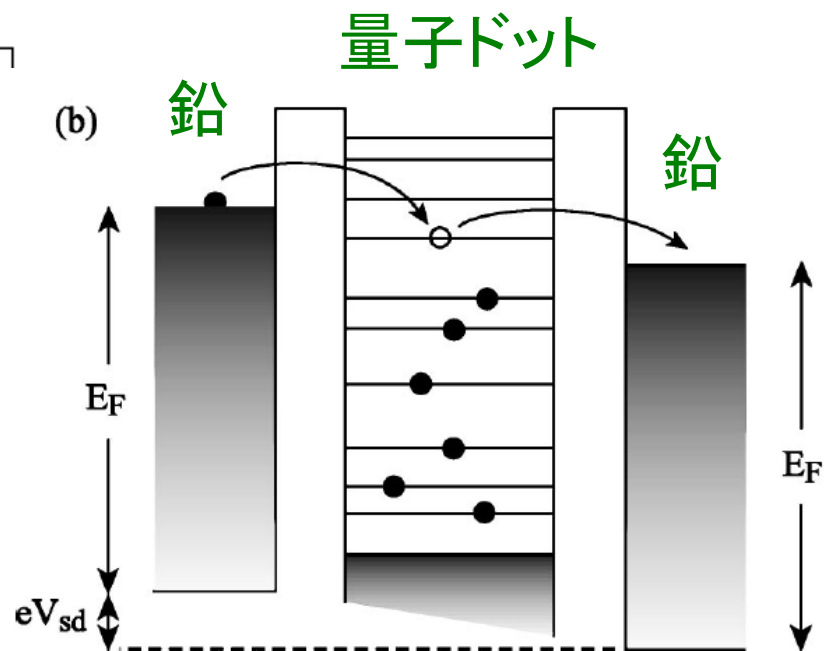
核分裂の微視的理解に向けた
世界的な潮流ができつつある

CI アプローチ



G.F. Bertsch and K.H., arXiv:2102.07084

物性における電子輸送の問題



トンネル接合

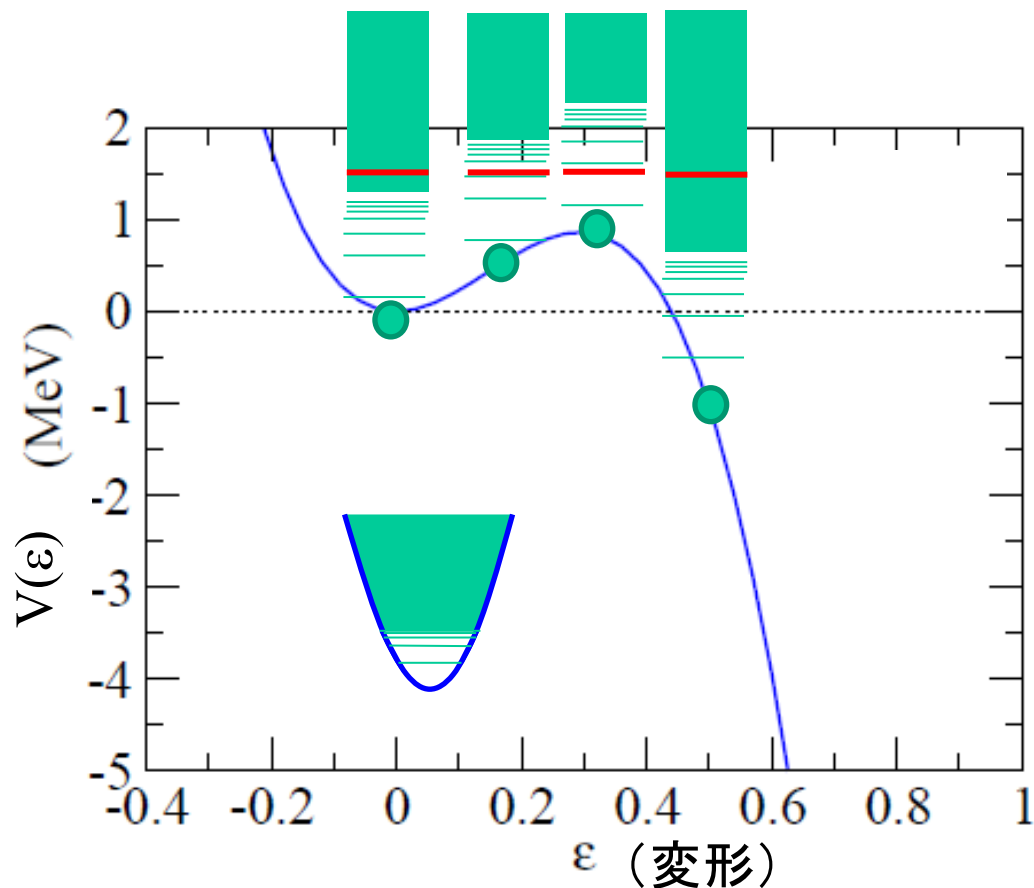
Y. Alhassid,
RMP72, 895 (2000).

Datta公式 / Landauer 公式

$$T_{ij} = \text{Tr}(\Gamma_i(H - E)^{-1}\Gamma_j(H^\dagger - E)^{-1})$$

P.S. Samle, A.W. Ghosh,
and S. Datta, PRB64,
201403 (2001)

CI アプローチ

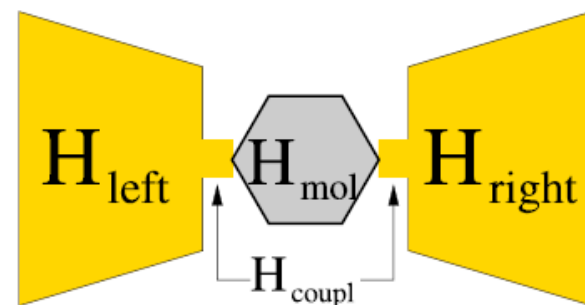
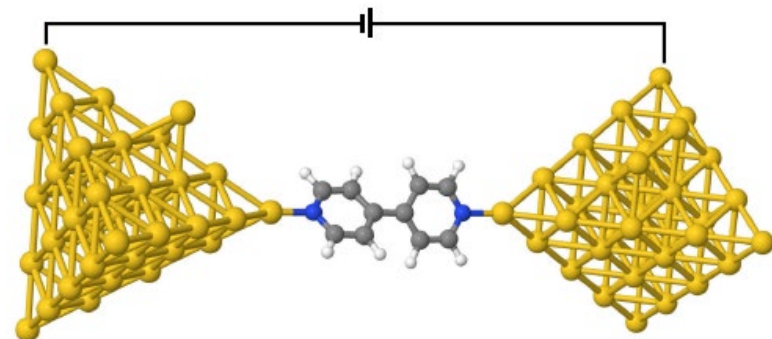


G.F. Bertsch and K.H., arXiv:2102.07084

Datta公式 / Landauer 公式

$$T_{ij} = \text{Tr}(\Gamma_i (H - E)^{-1} \Gamma_j (H^\dagger - E)^{-1})$$

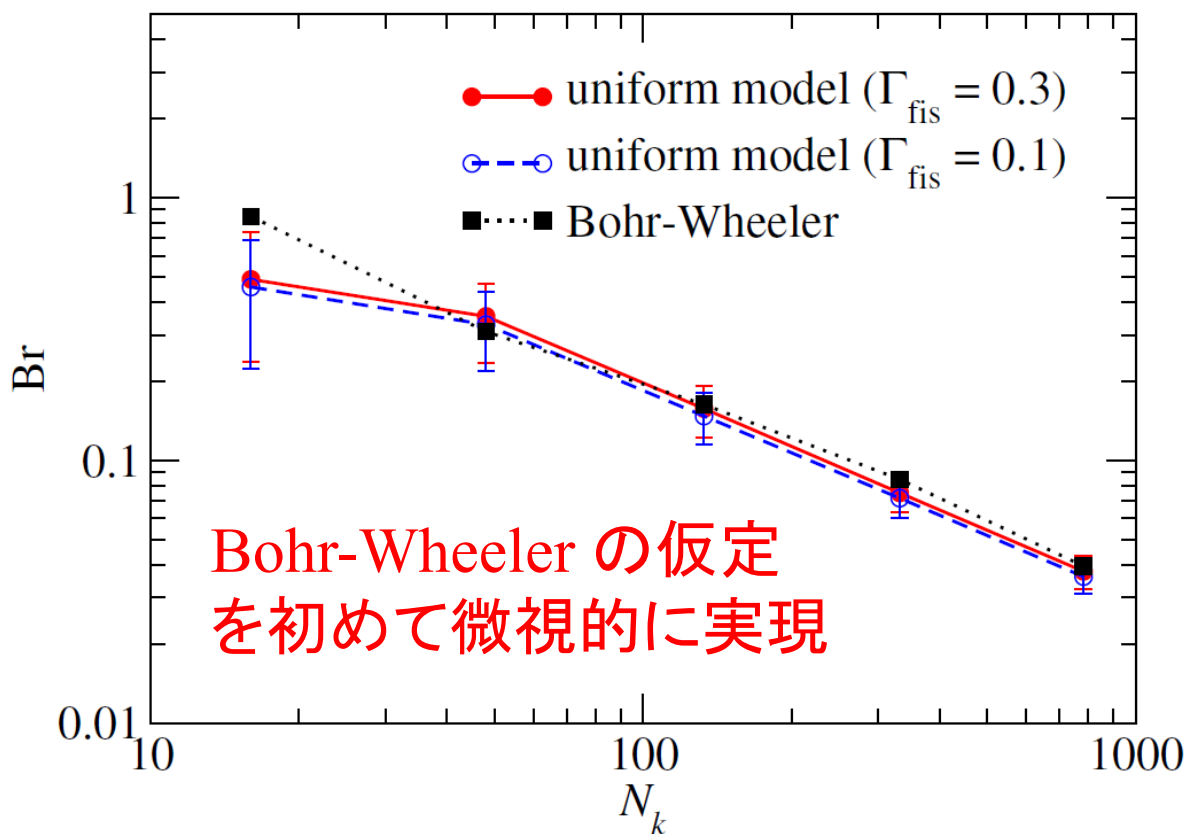
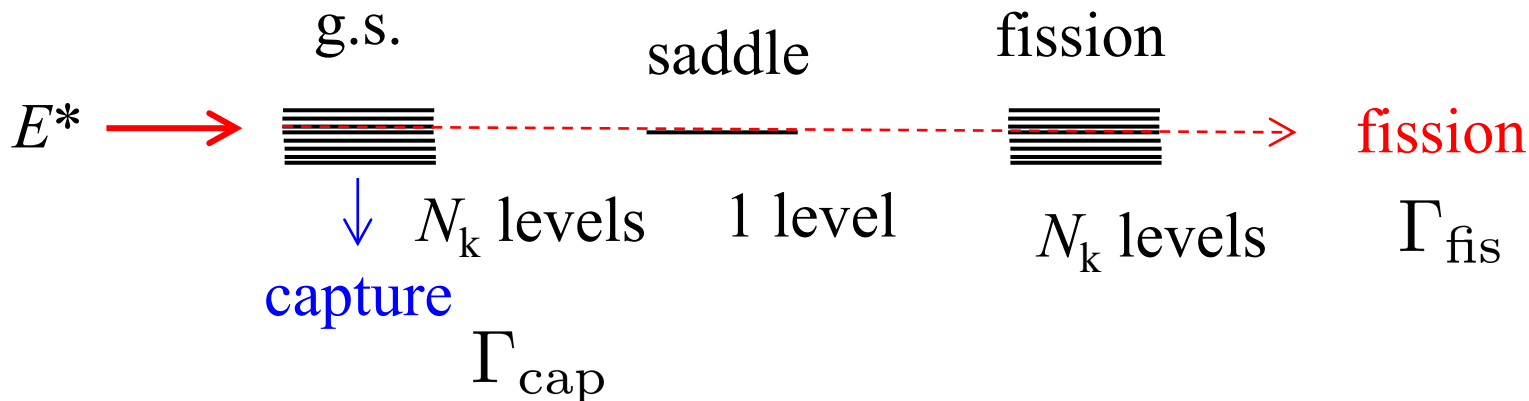
物性における電子輸送の問題



molecular bridge

M.Thoss and F. Evers,
JCP148, 030901 (2018)

P.S. Samle, A.W. Ghosh,
and S. Datta, PRB64,
201403 (2001)



まとめ

核反応：豊富なバラエティを持つ量子多体系のダイナミクス

核融合反応を中心に原子核反応の物理の最前線を紹介

National Nuclear Data Center

微視的反応理論に向けて

- TDGCM
- CIアプローチ
(核分裂)

重核・超重核

- 量子開放系
- 量子ランジュバン

中重核

- 多粒子系のトンネル現象

軽い原子核

- 天体核
- 共鳴

National Nuclear Data Center, information extracted from the NuDat 2 database, <http://www.nndc.bnl.gov/nudat2/>
"Users should feel free to use the information from NuDat 2 (tables and plots) in their work, reports, presentations, articles and books."